

# **FIPS 203 (borrador)**

---

**Publicación de estándares federales de procesamiento de información**

**Basado en módulo de celosía**

**Encapsulación de claves**

**Estándar del mecanismo**

**Categoría: Seguridad Informática**

**Subcategoría: Criptografía**

---

Laboratorio de Tecnología de la Información

Instituto Nacional de Estándares y Tecnología

Gaithersburg, MD 20899-8900

Esta publicación está disponible de forma gratuita en:

<https://doi.org/10.6028/NIST.FIPS.203.ipd>

Publicado el 24 de agosto de 2023



**Departamento de Comercio de EE.**

dieciséis **UU.** *Gina M. Raimondo, Secretaria*

**Instituto Nacional de Estándares y Tecnología**

*Laurie E. Locascio, directora del NIST y subsecretaria de Comercio para Estándares y Tecnología*

19

## Prefacio

20 La Serie de Publicaciones Federales de Estándares de Procesamiento de Información (FIPS) del Instituto Nacional  
21 de Estándares y Tecnología es la serie oficial de publicaciones relacionadas con estándares y pautas desarrolladas  
22 bajo 15 USC 278g-3 y emitida por el Secretario de Comercio bajo 40 USC 11331.

23 Los comentarios relacionados con esta publicación del Estándar Federal de Procesamiento de Información son  
24 bienvenidos y deben enviarse utilizando la información de contacto en la cláusula "Consultas y comentarios" de la sección  
25 de anuncios.

26

James A. St Pierre, director interino del  
Laboratorio de Tecnología de la Información

27

**Abstracto**

28 Un mecanismo de encapsulación de claves (o KEM) es un conjunto de algoritmos que, bajo ciertas condiciones,  
29 pueden ser utilizados por dos partes para establecer una clave secreta compartida a través de un canal público.  
30 Una clave secreta compartida que se establece de forma segura mediante un KEM se puede utilizar con algoritmos  
31 criptográficos de clave simétrica para realizar tareas básicas en comunicaciones seguras, como cifrado y  
32 autenticación.

33 Este estándar especifica un mecanismo de encapsulación de claves llamado ML-KEM. La seguridad de ML-  
34 KEM está relacionada con la dificultad computacional del llamado problema de Aprendizaje de Módulos con  
35 Errores. Actualmente, se cree que ML-KEM es seguro incluso contra adversarios que posean una  
36 computadora cuántica.

37 Este estándar especifica tres conjuntos de parámetros para ML-KEM. En orden de mayor  
38 seguridad (y menor rendimiento), estos conjuntos de parámetros son ML-KEM-512, ML-KEM-768 y  
39 ML-KEM-1024.

40 **Palabras clave:** la seguridad informática; criptografía; cifrado; Estándares Federales de Procesamiento de  
41 Información; criptografía basada en celosía; encapsulación de claves; poscuántico; criptografía de clave pública

## Publicación 203 de normas federales de procesamiento de información

Publicado: 24 de agosto de 2023

anunciando el

## Encapsulación de claves basada en módulos Estándar del mecanismo

Las publicaciones de estándares federales de procesamiento de información (FIPS) son emitidas por el Instituto Nacional de Estándares y Tecnología (NIST) según 15 USC 278g-3 y por el Secretario de Comercio según 40 USC 11331.

1.Nombre de la Norma.Estándar de mecanismo de encapsulación de claves basado en celosía de módulo (ML-KEM) (FIPS PUB 203).

2.Categoría de Norma.La seguridad informática.Subcategoría.Criptografía.

3.Explicación.Este estándar especifica un conjunto de algoritmos para aplicaciones que requieren una clave criptográfica secreta compartida por dos partes que solo pueden comunicarse a través de un canal público. Una clave criptográfica (o simplemente "clave") se representa en una computadora como una cadena de bits. *A clave secreta compartida* se calcula conjuntamente por dos partes (por ejemplo, la Parte A y la Parte B) utilizando un conjunto de reglas y parámetros. Bajo ciertas condiciones, estas reglas y parámetros garantizan que ambas partes producirán la misma clave y que esta clave compartida sea secreta para los adversarios. Una clave secreta compartida de este tipo se puede utilizar con algoritmos criptográficos de clave simétrica (especificados en otros estándares del NIST) para realizar tareas, como el cifrado y la autenticación de información digital.

Si bien existen muchos métodos para establecer una clave secreta compartida, el método particular descrito en esta especificación es un mecanismo de encapsulación de claves (KEM). En un KEM, el cálculo de la clave secreta compartida comienza cuando la Parte A genera una *clave de decapsulación* y una *clave de encapsulación*. La parte A mantiene privada la clave de decapsulación y pone la clave de encapsulación a disposición de la parte B. La parte B luego usa la clave de encapsulación de la parte A para generar una copia de una clave secreta compartida junto con una clave asociada. *texto cifrado*. Luego, la parte B envía el texto cifrado a la parte A a través del mismo canal. Finalmente, la Parte A utiliza el texto cifrado de la Parte B junto con la clave de decapsulación privada de la Parte A para calcular otra copia de la clave secreta compartida.

La seguridad del KEM particular especificado aquí está relacionada con la dificultad computacional de resolver ciertos sistemas de ecuaciones lineales ruidosas, específicamente las llamadas *Módulo de aprendizaje con errores* (MLWE) problema. Actualmente, se cree que este método particular de establecer una clave secreta compartida es seguro incluso contra adversarios que posean una computadora cuántica. En el futuro, es posible que se especifiquen y aprueben KEM adicionales en publicaciones FIPS o en publicaciones especiales del NIST.

4.Autoridad que lo aprueba.Secretario de Comercio.

5.Agencia de mantenimiento.Departamento de Comercio, Instituto Nacional de Estándares y Tecnología, Laboratorio de Tecnología de la Información (ITL).

6. Aplicabilidad. Los Estándares Federales de Procesamiento de Información se aplican a los sistemas de información utilizados u operados por agencias federales o por un contratista de una agencia u otra organización en nombre de una agencia. No se aplican a los sistemas de seguridad nacional según se definen en 44 USC 3552.
- Este estándar debe implementarse siempre que se requiera el establecimiento de una clave secreta compartida para aplicaciones federales, incluido el uso de dicha clave con algoritmos criptográficos de clave simétrica, de acuerdo con la Oficina de Administración y Presupuesto aplicable y las políticas de la agencia. Las agencias federales también pueden utilizar métodos alternativos que el NIST haya indicado que son apropiados para este propósito.
- La adopción y el uso de esta norma están disponibles para organizaciones privadas y comerciales.
7. Implementaciones. Se puede implementar un mecanismo de encapsulación de claves en software, firmware, hardware o cualquier combinación de los mismos. Una implementación conforme puede reemplazar la secuencia dada de pasos en los algoritmos de nivel superior de ML-KEM (es decir, [ML-KEM.Generación de claves](#), [ML-KEM.encapsula](#), y [ML-KEM.decapulas](#)) con cualquier proceso equivalente. En otras palabras, se permiten diferentes procedimientos que produzcan la salida correcta para cada entrada. En particular, no se requiere que las implementaciones conformes utilicen las mismas subrutinas (de los algoritmos principales antes mencionados) que se utilizan en esta especificación.
- NIST desarrollará un programa de validación para probar la conformidad de las implementaciones con los algoritmos de este estándar. La información sobre los programas de validación está disponible en <https://csrc.nist.gov/projects/cmvp>. Los valores de ejemplo para algoritmos criptográficos están disponibles en <https://csrc.nist.gov/projects/cryptographic-standards-and-guidelines/example-values>.
8. Otras funciones de seguridad aprobadas. Implementaciones que cumplen con este estándar deberán emplear algoritmos criptográficos que han sido aprobados para proteger información confidencial del gobierno federal. Aprobado Los algoritmos y técnicas criptográficos incluyen aquellos que son:
- (a) Especificado en una publicación de Estándares Federales de Procesamiento de Información (FIPS),
  - (b) Adoptado en una recomendación FIPS o NIST, o
  - (c) Especificadas en la lista de funciones de seguridad aprobadas para FIPS 140-3.
9. Control de exportación. Ciertos dispositivos criptográficos y los datos técnicos relacionados con ellos están sujetos a controles federales de exportación. Las exportaciones de módulos criptográficos que implementan este estándar y los datos técnicos relacionados con ellos deben cumplir con todas las leyes y regulaciones federales y estar autorizadas por la Oficina de Industria y Seguridad del Departamento de Comercio de EE. UU. La información sobre las regulaciones de exportación está disponible en <https://www.bis.doc.gov>.
10. Patentes. El NIST ha celebrado dos acuerdos de licencia de patentes para facilitar la adopción de la selección anunciada por el NIST del algoritmo PQC de cifrado de clave pública CRYSTALS-KYBER. El NIST y las partes otorgantes de licencias comparten el deseo, en aras del interés público, de que las patentes con licencia estén disponibles gratuitamente para que las practique cualquier implementador del algoritmo ML-KEM publicado por el NIST. ML-KEM es el nombre que recibe el algoritmo en este estándar derivado de CRYSTALS-KYBER. Para obtener un resumen y extractos de la licencia, consulte <https://csrc.nist.gov/csrc/media/Projects/post-quantum-cryptography/documents/selected-algos-2022/nist-pqc-licensesummary-and-excerpts.pdf>. La implementación del algoritmo especificado en el estándar puede estar cubierta por patentes estadounidenses y extranjeras de las que el NIST no tiene conocimiento.

- 120 11. Calendario de implementación. Esta norma entra en vigor inmediatamente después de su publicación  
121 final.
- 122 12. Especificaciones. Estándares federales de procesamiento de información (FIPS) 203, Estándar del mecanismo de  
123 encapsulación de claves basado en módulos (adjunto).
- 124 13. Cualificaciones. En las aplicaciones, las garantías de seguridad de un KEM solo se mantienen bajo ciertas  
125 condiciones (consulte NIST SP 800-227 [1]). Una de esas condiciones es el secreto de varios valores, incluida la  
126 aleatoriedad utilizada por las dos partes, la clave de decapsulación y la propia clave secreta compartida.  
127 Usuarios deberá, por lo tanto, tener cuidado con la divulgación de estos valores.
- 128 Si bien la intención de este estándar es especificar los requisitos generales para implementar algoritmos  
129 ML-KEM, el cumplimiento de este estándar no garantiza que una implementación particular sea segura.  
130 Es responsabilidad del implementador garantizar que cualquier módulo que implemente una capacidad  
131 de establecimiento de clave esté diseñado y construido de manera segura.
- 132 De manera similar, el uso de un producto que contenga una implementación que cumpla con este  
133 estándar no garantiza la seguridad del sistema general en el que se utiliza el producto. La autoridad  
134 responsable en cada agencia o departamento deberá garantizar que una implementación general  
135 proporcione un nivel aceptable de seguridad.
- 136 El NIST seguirá siguiendo los avances en el análisis del algoritmo ML-KEM. Al igual que con sus  
137 otros estándares de algoritmos criptográficos, el NIST reevaluará formalmente este estándar cada  
138 cinco años.
- 139 Tanto este estándar como las posibles amenazas que reducen la seguridad proporcionada mediante el  
140 uso de este estándar serán revisados por el NIST según corresponda, teniendo en cuenta los análisis y  
141 la tecnología recientemente disponibles. Además, el conocimiento de cualquier avance tecnológico o  
142 cualquier debilidad matemática del algoritmo hará que el NIST reevalúe este estándar y proporcione las  
143 revisiones necesarias.
- 144 14. Procedimiento de renuncia. La Ley Federal de Gestión de Seguridad de la Información (FISMA) no  
145 permite exenciones a los Estándares Federales de Procesamiento de Información (FIPS) que el  
146 Secretario de Comercio hace obligatorias.
- 147 15. Dónde obtener copias de la norma. Esta publicación está disponible accediendo [https://](https://csrc.nist.gov/publications)  
148 [csrc.nist.gov/publications](https://csrc.nist.gov/publications). Otras publicaciones sobre seguridad informática están disponibles en el  
149 mismo sitio web.
- 150 dieciséis. Cómo citar esta publicación. NIST ha asignado NIST FIPS 203 ipd como identificador de publicación para  
151 este FIPS, según el [Sintaxis del identificador de publicación de la serie técnica del NIST](#). NIST recomienda que  
152 se cite de la siguiente manera:
- 153 Instituto Nacional de Estándares y Tecnología (2023) Estándar del mecanismo de  
154 encapsulación de claves basado en módulos. (Departamento de Comercio, Washington, DC),  
155 Publicación de estándares federales de procesamiento de información (FIPS) NIST FIPS 203  
156 ipd. <https://doi.org/10.6028/NIST.FIPS.203.ipd>
- 157 17. Consultas y Comentarios. Las consultas y comentarios sobre este FIPS pueden enviarse a  
158 [fps-203-comments@nist.gov](mailto:fps-203-comments@nist.gov).

159 Convocatoria de reclamaciones de patentes

160 Esta revisión pública incluye una convocatoria de información sobre reivindicaciones de patentes esenciales  
161 (reivindicaciones cuyo uso sería necesario para cumplir con la orientación o los requisitos de este borrador de publicación  
162 del Laboratorio de Tecnología de la Información (ITL)). Dichas orientaciones y/o requisitos pueden indicarse directamente  
163 en esta Publicación ITL o mediante referencia a otra publicación. Esta convocatoria también incluye la divulgación, cuando  
164 se conozca, de la existencia de solicitudes de patentes estadounidenses o extranjeras pendientes relacionadas con este  
165 borrador de publicación ITL y de cualquier patente estadounidense o extranjera relevante y vigente.

166 ITL podrá exigir al titular de la patente, o a una parte autorizada para dar garantías en su nombre, en forma  
167 escrita o electrónica, ya sea:

168 a) garantía en forma de descargo de responsabilidad general en el sentido de que dicha parte no posee ni  
169 tiene la intención de poseer ninguna reivindicación de patente esencial; o

170 b) garantía de que una licencia para dicha(s) reivindicación(es) de patente esencial se pondrá a  
171 disposición de los solicitantes que deseen utilizar la licencia con el fin de cumplir con la orientación o  
172 los requisitos de este borrador de publicación del DIT:

173 (i) bajo términos y condiciones razonables que estén demostrablemente libres de cualquier  
174 discriminación injusta; o

175 (ii) sin compensación y bajo términos y condiciones razonables que estén demostrablemente libres  
176 de cualquier discriminación injusta.

177 Dicha garantía deberá indicar que el titular de la patente (o un tercero autorizado para dar garantías en su  
178 nombre) incluirá en cualquier documento de transferencia de propiedad de patentes sujetas a la garantía,  
179 disposiciones suficientes para garantizar que los compromisos de la garantía sean vinculantes para el  
180 cesionario, y que el cesionario incluirá igualmente disposiciones apropiadas en caso de futuras  
181 transferencias con el objetivo de vincular a cada sucesor en interés.

182 La garantía también indicará que está destinada a ser vinculante para los sucesores en interés  
183 independientemente de si dichas disposiciones están incluidas en los documentos de transferencia pertinentes.

184 Dichas declaraciones deberán dirigirse a: [fps-203-comments@nist.gov](mailto:fps-203-comments@nist.gov).

185 **Publicación 203 de normas federales de procesamiento de información**

186 **Especificación para el**  
 187 **Encapsulación de claves basada en módulos**  
 188 **Estándar del mecanismo**

189 **Tabla de contenido**

190	1	Introducción	1
191	1.1	Propósito y Alcance	1
192	1.2	Contexto	1
193	1.3	Diferencias con CRYSTALS-KYBEREnvío	2
194	2	Glosario de términos, acrónimos y símbolos matemáticos	3
195	2.1	Términos y definiciones	3
196	2.2	Acrónimos	4
197	2.3	Símbolos matemáticos	5
198	2.4	Interpretación del pseudocódigo	6
199	3	Descripción general del esquema ML-KEM	11
200	3.1	Mecanismos clave de encapsulación	11
201	3.2	El esquema ML-KEM	12
202	3.3	Requisitos para implementaciones ML-KEM	14
203	4	Algoritmos auxiliares	dieciséis
204	4.1	Funciones criptográficas	dieciséis
205	4.2	Algoritmos generales	17
206	4.2.1	Algoritmos de conversión y compresión	17
207	4.2.2	Algoritmos de muestreo	19
208	4.3	La transformada de la teoría de números	21
209	4.3.1	Multipliación en el Dominio NTT	23
210	5	El esquema de componentes K-PKE	25
211	5.1	Generación de claves K-PKE	25
212	5.2	Cifrado K-PKE	26
213	5.3	Descifrado K-PKE	28



214	6	El mecanismo de encapsulación de claves ML-KEM	29
215		6.1 Generación de claves ML-KEM	29
216		6.2 Encapsulación ML-KEM	30
217		6.3 Decapsulación ML-KEM	31
218		7 conjuntos de parámetros	33
219		Referencias	35
220		Apéndice A: Categorías de resistencia de la seguridad	37

## 221 Lista de tablas

222	tabla 1	Tasas de fallas de decapsulación para ML-KEM	14
223	Tabla 2	Conjuntos de parámetros aprobados para ML-KEM	33
224	Tabla 3	Tamaños (en bytes) de claves y textos cifrados de las	33
225	Tabla 4	categorías de seguridad de ML-KEM NIST	38
226	Tabla 5	Estimaciones de recuentos de puertas clásicas y cuánticas para la recuperación óptima de claves	
227		y ataques de colisión en AES y SHA-3	39

## 228 Lista de Figuras

229	Figura 1	Una vista simple del establecimiento de claves usando un KEM	11
-----	----------	--	----

## 230 Lista de algoritmos

231	Algoritmo 1	Por ejemplo	7
232	Algoritmo 2	<a href="#">Bits a bytes</a> ( $b$ )	17
233	Algoritmo 3	<a href="#">Bytes a bits</a> ( $B$ )	18
234	Algoritmo 4	<a href="#">Código de bytes</a> $_{\alpha}(F)$	19
235	Algoritmo 5	<a href="#">Decodificación de bytes</a> $_{\alpha}(B)$	19
236	Algoritmo 6	<a href="#">MuestraNTT</a> ( $B$ )	20
237	Algoritmo 7	<a href="#">MuestraPolyCBD</a> $_{\eta}(B)$	20
238	Algoritmo 8	$\text{NTT}(F)$	22
239	Algoritmo 9	$\text{NTT}^{-1}(F)$	22
240	Algoritmo 10	$\text{Multiplicar NTT}(f, \hat{g})$	23
241	Algoritmo 11	$\text{BaseCaseMultiplicar}(a_0, a_1, b_0, b_1)$	24
242	Algoritmo 12	$\text{K-PKE.Generación de claves}$	24
243	Algoritmo 13	$\text{K-PKE.cifrar}(ek_{\text{PKE}}, \text{señor})$	26
244	Algoritmo 14	$\text{K-PKE.Descifrar}(\text{no sé}_{\text{PKE}}, C)$	27
245	Algoritmo 15	$\text{ML-KEM.encapsula}(ek)$	28
246	Algoritmo 16	$\text{ML-KEM.decápsulas}(C, \text{claro})$	32

# 1. Introducción

## 1.1 Propósito y alcance

Esta norma especifica la *Mecanismo de encapsulación de claves basado en celosía de módulo* ML-KEM. Un mecanismo de encapsulación de claves (o KEM) es un conjunto de algoritmos que se pueden utilizar para establecer una clave secreta compartida entre dos partes que se comunican a través de un canal público. Un KEM es un tipo particular de esquema de establecimiento de claves. NIST actual-aprobado Los esquemas de establecimiento clave se especifican en NIST SP-800-56A, *Recomendación para esquemas de establecimiento de claves por pares que utilizan criptografía basada en logaritmos discretos* [2] y NIST SP-800-56B, *Recomendación para esquemas de establecimiento de claves por pares que utilizan criptografía de factorización de enteros* [3].

Es bien sabido que los esquemas de establecimiento de claves especificados en NIST SP-800-56A y NIST SP-800-56B son vulnerables a ataques que utilizan computadoras cuánticas suficientemente capaces. ML-KEM es un ~~aprobado~~ alternativa que actualmente se cree que es segura incluso contra adversarios en posesión de una computadora cuántica. ML-KEM se deriva de la versión de tercera ronda del CRYSTALS-KYBER KEM [4], una presentación en el proyecto de estandarización de criptografía poscuántica del NIST. Para las diferencias entre ML-KEM y CRYSTALS-KYBER, mira la sección 1.3.

Este estándar especifica los algoritmos y conjuntos de parámetros del esquema ML-KEM. Su objetivo es proporcionar información suficiente para implementar ML-KEM de una manera que pueda pasar la validación (ver <https://csrc.nist.gov/projects/cryptographic-module-validation-program>). Para conocer las definiciones y propiedades generales de los KEM, incluidos los requisitos para el uso seguro de los KEM en aplicaciones, consulte NIST SP 800-227 [1].

Este estándar especifica tres conjuntos de parámetros para ML-KEM. Estos conjuntos de parámetros ofrecen diferentes compensaciones entre la solidez de la seguridad y el rendimiento. Los tres conjuntos de parámetros de ML-KEM son ~~aprobados~~ para proteger los sistemas de comunicación sensibles y no clasificados del gobierno federal de EE. UU.

## 1.2 Contexto

En los últimos años, ha habido un progreso constante hacia la construcción de computadoras cuánticas. Si se construyen computadoras cuánticas a gran escala, la seguridad de muchos criptosistemas de clave pública de uso común estará en riesgo. Esto incluiría esquemas de establecimiento de claves y esquemas de firma digital que se basan en la factorización de números enteros y logaritmos discretos (tanto en campos finitos como en curvas elípticas). Como resultado, en 2016, el Instituto Nacional de Estándares y Tecnología (NIST) inició un proceso público para seleccionar algoritmos criptográficos de clave pública resistentes a los cuánticos para su estandarización. Se envió un total de 82 algoritmos candidatos al NIST para su consideración para su estandarización.

Después de tres rondas de evaluación y análisis, el NIST seleccionó los primeros cuatro algoritmos para estandarizar como resultado del proceso de estandarización de la criptografía poscuántica (PQC). Estos algoritmos están destinados a proteger la información confidencial del gobierno de EE. UU. en el futuro previsible, incluso después de la llegada de las computadoras cuánticas. Este estándar especifica una variante del algoritmo seleccionado CRYSTALS-KYBER, un mecanismo de encapsulación de claves basado en celosía (KEM) [4]. En este estándar, el KEM especificado aquí se denominará ML-KEM,

288 ya que se basa en el llamado supuesto de Aprendizaje de Módulos con Errores.

## 289 1.3 Diferencias con CRYSTALS-KYBEREnvío

290 A continuación se muestra una lista de todas las diferencias de esquema entre CRYSTALS-KYBER(como se describe  
291 en [4]) y el esquema ML-KEM especificado en este documento. La lista consta únicamente de aquellas diferencias  
292 que resultan en un comportamiento diferente de entrada-salida de los algoritmos principales (es decir,KeyGen,  
293 encaps, decaps)de CRISTALES-KYBERy ML-KEM. Recuerde que una implementación conforme sólo necesita coincidir  
294 con el comportamiento de entrada-salida de estos tres algoritmos (ver“Implementaciones”arriba, y la Sección3.3  
295 abajo). En consecuencia, la siguiente lista no incluye ninguna de las numerosas diferencias en cómo los algoritmos  
296 principales realmente producen salidas a partir de entradas (por ejemplo, a través de diferentes pasos  
297 computacionales o diferentes subrutinas). La siguiente lista tampoco incluye ninguna diferencia en la presentación  
298 entre esta norma y [4].

- 299 • En la especificación de tercera ronda [4], la clave secreta compartida se trató como un valor de longitud variable  
300 cuya longitud depende de cómo se usaría esta clave en la aplicación correspondiente. En esta especificación, la  
301 longitud de la clave secreta compartida se fija en 256 bits. En esta especificación, esta clave se puede utilizar  
302 directamente en aplicaciones como clave simétrica; alternatively, se pueden derivar claves simétricas a partir  
303 de esta clave, como se especifica en la Sección3.3.
- 304 • ElML-KEM.encapsulayML-KEM.decapulasLos algoritmos de esta especificación utilizan una variante  
305 diferente de la transformada de Fujisaki-Okamoto (ver [5,6]) que la especificación de tercera ronda [4].  
306 Específicamente,ML-KEM.encapsulaya no incluye un hash del texto cifrado en la derivación del secreto  
307 compartido, yML-KEM.decapulasse ha ajustado para que coincida con este cambio.  
308
- 309 • En la especificación de tercera ronda [4], la aleatoriedad inicialmetroen elML-KEM.encapsula El  
310 algoritmo fue codificado por primera vez antes de ser utilizado. Específicamente, entre líneas.1y2en  
311 algoritmodieciséis, hubo un paso adicional que realizó la operación $metro \leftarrow h(metro)$ . El propósito de  
312 este paso era proteger contra el uso de procesos de generación de aleatoriedad defectuosos. Como  
313 este estándar requiere el uso de generación de aleatoriedad aprobada por NIST, este paso es  
314 innecesario y no se realiza en ML-KEM.
- 315 • Esta especificación incluye pasos explícitos de validación de entradas que no formaban parte de la  
316 especificación de la tercera ronda [4]. Por ejemplo,ML-KEM.encapsularequiere que la matriz de bytes que  
317 contiene la clave de encapsulación se decodifique correctamente en una matriz de números enteros  
318 móduloqsin reducciones modulares.

## 319 2. Glosario de términos, acrónimos y símbolos 320 matemáticos

### 321 2.1 Términos y definiciones

322	aprobado	Aprobado por FIPS y/o recomendado por NIST. Un algoritmo o técnica que
323		1) se especifica en una recomendación FIPS o NIST, 2) se adopta en una
324		recomendación FIPS o NIST, o 3) se especifica en una lista de NIST-
325		aprobadofunciones de seguridad.
326	decapsulación	El proceso de aplicación deldecápsulasalgoritmo de un KEM. Este algoritmo acepta
327		un texto cifrado KEM y la clave de desencapsulación como entrada y produce una
328		clave secreta compartida como salida.
329	clave de decapsulación	Una clave criptográfica producida por un KEM durante la generación de claves y
330		utilizada durante el proceso de decapsulación. La clave de decapsulación debe
331		mantenerse privada y debe destruirse cuando ya no sea necesaria.
332	clave de descifrado	Una clave criptográfica que se utiliza con un PKE para descifrar textos cifrados
333		en textos sin formato. La clave de descifrado debe mantenerse privada y debe
334		destruirse cuando ya no sea necesaria.
335	destruir	Una acción aplicada a una clave u otro dato secreto. Una vez destruido un
336		dato secreto, no se puede recuperar ninguna información sobre su valor.
337	encapsulación	El proceso de aplicación delencapsulaalgoritmo de un KEM. Este algoritmo
338		acepta la aleatoriedad privada y la clave de encapsulación como entrada y
339		produce una clave secreta compartida y un texto cifrado asociado como salida.
340	clave de encapsulación	Una clave criptográfica producida por un KEM durante la generación de claves y
341		utilizada durante el proceso de encapsulación. La clave de encapsulación se puede
342		hacer pública.
343	Clave de encriptación	Una clave criptográfica que se utiliza con un PKE para cifrar textos sin formato
344		en textos cifrados. La clave de cifrado se puede hacer pública.
345	proceso equivalente	Dos procesos son equivalentes si se produce el mismo resultado cuando se ingresan
346		los mismos valores a cada proceso (ya sea como parámetros de entrada, como
347		valores disponibles durante el proceso, o ambos).
348	función hash	Una función en cadenas de bits en la que la longitud de la salida es fija.
349		AprobadoLas funciones hash relevantes para este estándar se especifican en
350		FIPS 202 [7].
351	Texto cifrado KEM	Una cadena de bits que se produce mediante encapsulación y se utiliza como entrada para la
352		decapsulación.
353	llave	Una cadena de bits que se utiliza junto con un algoritmo criptográfico. Los
354		ejemplos aplicables a este estándar incluyen: las claves de encapsulación y
355		desencapsulación (de un KEM), la clave secreta compartida (producida por
356		un KEM) y las claves de cifrado y descifrado (de una PKE).

357	encapsulación de claves	Un conjunto de tres algoritmos criptográficos (KeyGen, encaps,yDecápsulas) que puede
358	mecanismo (KEM)	ser utilizado por dos partes para establecer una clave secreta compartida a través de un
359		canal público.
360	Par de claves	Un conjunto de dos claves con la propiedad de que una clave puede hacerse pública
361		mientras que la otra debe mantenerse privada. En este estándar, esto podría
362		referirse al par de claves (clave de encapsulación, clave de desencapsulación) de un
363		KEM o al par de claves (clave de cifrado, clave de descifrado) de un PKE.
364	fiesta	Un individuo (persona), organización, dispositivo o proceso. En esta
365		especificación, hay dos partes (Parte A y Parte B, o Alice y Bob), y realizan
366		conjuntamente el proceso de establecimiento de claves mediante un KEM.
367	pseudoaleatorio	Se dice que un proceso (o datos producidos por un proceso) es
368		pseudoaleatorio cuando el resultado es determinista pero también parece
369		aleatorio siempre que la acción interna del proceso esté oculta a la
370		observación. Para fines criptográficos, "efectivamente aleatorio" significa
371		"computacionalmente indistinguible de aleatorio dentro de los límites de la
372		seguridad prevista".
373	canal publico	Un canal de comunicación entre dos partes; dicho canal puede ser
374		observado y posiblemente también dañado por terceros.
375	Llave pública	Un conjunto de tres algoritmos criptográficos (generación de claves, cifrar,yDescifrar) que
376	esquema de cifrado	puede ser utilizado por dos partes para enviar datos secretos a través de un canal público.
377	(PKE)	También conocido como esquema de cifrado asimétrico.
378	clave secreta compartida	El resultado final de un proceso de establecimiento de claves KEM. Es una clave
379		criptográfica que se puede utilizar para criptografía de clave simétrica. Debe
380		mantenerse en privado y debe destruirse cuando ya no sea necesario.
381	categoría de seguridad	Un número asociado con la seguridad de un algoritmo criptográfico
382		poscuántico según lo especificado por NIST (consulte el Apéndice A, Tabla4).
383	fuerza de seguridad	Un número asociado con la cantidad de trabajo que se requiere para descifrar
384		un algoritmo o sistema criptográfico.
385	deberá	Se utiliza para indicar un requisito de esta norma.
386	debería	Se utiliza para indicar una recomendación fuerte pero no un requisito de
387		esta norma. Ignorar la recomendación podría conducir a resultados
388		indeseables.
389		

## 390 2.2 Acrónimos

391	AES	Estándar de cifrado avanzado Distribución
392	CDB	binomial centrada Estándar federal de
393	FIPS	procesamiento de información

394	KEM	Aprendizaje del mecanismo de
395	LWE	encapsulación de claves con errores
396	MLWE	Módulo de aprendizaje con errores
397	NIST	Instituto Nacional de Estándares y Tecnología NIST
398	nistir	Informe interno o interinstitucional
399	NTT	Cifrado de clave pública con
400	PKE	transformación teórica de números
401	PQC	Función pseudoaleatoria de
402	PRF	criptografía poscuántica
403	RBG	Generador de bits aleatorios
404	sha	Algoritmo hash seguro
405	AGITAR	Algoritmo hash seguro KECCAK
406	SP	Publicación especial
407	XOF	Función de salida extensible
408		

## 409 2.3 Símbolos matemáticos

410	$S^*$	Si $S$ es un conjunto, esto denota el conjunto de tuplas (o matrices) de longitud finita de elementos del conjunto $S$ , incluida la tupla vacía (o matriz vacía).
411		
412	$S_k$	Si $S$ es un conjunto, esto denota el conjunto de $k$ -tuplas (o longitud- $k$ matrices) de elementos del conjunto $S$ .
413		
414	$\text{BitRev}_7(r)$	Inversión de bits de un entero de siete bits $r$ . Específicamente, si $r = r_0 + 2r_1 + 4r_2 + \dots + 64r_6$ con $r_i \in \{0, 1\}$ , entonces $\text{BitRev}_7(r) = r_6 + 2r_5 + 4r_4 + \dots + 64r_0$ .
415		
416	$F$	el elemento de $\mathbb{F}_q$ que es igual a la representación NTT de un polinomio $F \in R_q$ (mira la sección 4.3).
417		
418	$\mathbb{q}$	El conjunto de los números racionales.
419	$\mathbb{Z}_{metro}$	El módulo del anillo de números enteros $metro$ , es decir, el conjunto $\{0, 1, \dots, metro-1\}$ equipado con las operaciones de módulo de suma y multiplicación $metro$ .
420		
421	$\mathbb{Z}$	El conjunto de los números enteros.
422	$v_t, A_t$	La transposición de una fila o columna $v$ ; Además, la transpuesta de una
423	$F_j$	matriz $A$ . El coeficiente de $X^j$ de un polinomio $F = F_0 + F_1X + \dots + F_{255}X^{255}$ El entero $r \in R_q$ .
424	$r_{modificación\,metro}$	único $r$ en $\{0, 1, \dots, metro-1\}$ tal que $metro$ divide $r - r'$ .

425	<i>modificación: metro</i>	Para $metro$ par (respectivamente, impar), esto denota el número entero único tal que
426		$-m/2 < r \leq metro/2$ (respectivamente, $-(metro-1)/2 \leq r \leq (metro-1)/2$ ) y $metro$ divide $r-r'$
427		.
428	$ B $	Si $B$ es un número, esto denota el valor absoluto de $B$ . Si $B$ es una matriz, esto
429		denota su longitud.
430	$\lceil X \rceil$	el techo de $X$ , es decir, el entero más pequeño mayor o igual a $X$ .
431	$\lfloor X \rfloor$	El redondeo de $X$ al número entero más cercano; si $X = y + 1/2$ para algunos $y \in \mathbb{Z}$ , entonces
432		$\lfloor X \rfloor = y + 1$ .
433	$\lfloor X \rfloor$	el piso de $X$ , es decir, el mayor entero menor o igual a $X$ . El
434	$B$	conjunto $\{0, 1, \dots, 255\}$ de enteros de 8 bits sin signo (bytes). La
435	$A  B$	concatenación de dos matrices o cadenas de bits. $A$ y $B$ .
436	$B[i]$	La entrada en el índice $i$ en la matriz $B$ . Todas las matrices tienen índices que comienzan en
437	$B[k:metro]$	cero. El subarreglo $(B[k], B[k+1], \dots, B[metro-1])$ de la matriz $B$ . Denota el número entero 256
438	<i>norte</i>	en todo este documento.
439	$q$	Denota el número entero primo $3329 = 2^8 \cdot 13 + 1$ a lo largo de este documento.
440	$R_q$	El anillo $\mathbb{Z}_q[X]/(X^{norte} + 1)$ que consta de polinomios de la forma $F = F_0 + F_1X + \dots +$
441		$F_{255}X^{255}$ donde $F_j \in \mathbb{Z}_q$ para todos $j$ , equipado con módulo de suma y
442		multiplicación $X^{norte} + 1$ .
443	$s \leftarrow X$	En pseudocódigo, esta notación significa que la variable $s$ se le asigna el valor
444		de la expresión $X$ .
445	$s \leftarrow_{\text{ps}} B_\ell$	En pseudocódigo, esta notación significa que la variable $s$ se le asigna el valor de una
446		matriz de $\ell$ bytes aleatorios. Los bytes deben generarse utilizando la aleatoriedad a
447		partir de un aprobado RBG (ver Sección 3.3).
448	$t_q$	La imagen de $R_q$ bajo la transformada de teoría de números. Sus elementos se
449		denominan "representaciones NTT" de polinomios en $R_q$ (mira la sección 4.3).

## 450 2.4 Interpretación del pseudocódigo

451 Esta sección describe las convenciones del pseudocódigo utilizado para describir los algoritmos de este estándar.  
452 Se entiende que todos los algoritmos tienen acceso a dos constantes enteras globales:  $norte=256$  y  $q=3329$ .  
453 También hay cinco variables enteras globales:  $k, \eta_1, \eta_2, d, u, y, d, v$ . Todas las demás variables son locales. Las cinco  
454 variables globales se establecen en valores particulares cuando se selecciona un conjunto de parámetros (consulte  
455 la Sección 7).  
456 Cuando los algoritmos de esta especificación invocan otros algoritmos como subrutinas, todos los  
457 argumentos (entradas) se pasan por valor. En otras palabras, se crea una copia de las entradas y con la  
458 copia se invoca la subrutina. No existe el "pasar por referencia".  
459  
460 Tipos de datos. Para variables que representan la entrada o salida de un algoritmo, el tipo de datos (p. ej.,



461 bit, byte, matriz de bits) se describirán explícitamente al comienzo del algoritmo. Para la mayoría de las variables  
 462 locales del pseudocódigo, el tipo de datos se deduce fácilmente del contexto. Para todas las demás variables, el  
 463 tipo de datos se declarará en un comentario. En un algoritmo único, el tipo de datos de una variable se determina  
 464 la primera vez que se utiliza la variable y no se cambiará. Los nombres de variables pueden reutilizarse y se  
 465 reutilizarán en diferentes algoritmos, incluso con diferentes tipos de datos.

466 Además de los tipos de datos atómicos estándar (p. ej., bits, bytes) y estructuras de datos (p. ej., matrices), el módulo de  
 467 números enteros *metro* (es decir, elementos de  $\mathbb{Z}_{metro}$ ) también se utilizará como tipo de datos abstractos. Está implícito que  
 468 el módulo de reducción *metro* tiene lugar cada vez que se realiza una asignación a una variable en  $\mathbb{Z}_{metro}$ . Por ejemplo, para  
 469  $z \in \mathbb{Z}_{metro}$  cualquier número entero  $x, y$ , la declaración

$$z \leftarrow x + y \quad (2.1)$$

470 significa que se le asigna el valor  $x + y$  modificación *metro*. El pseudocódigo es agnóstico con respecto a cómo un  
 471 módulo entero *metro* se representa en implementaciones reales o cómo se calcula la reducción modular.

472  
 473 Sintaxis de bucle. El pseudocódigo utilizará los bucles "while" y "for". La sintaxis del "mientras" se  
 474 explica por sí misma. En el caso de bucles "for", la sintaxis será del estilo del lenguaje de programación  
 475 C. En Algoritmo se dan dos ejemplos sencillos. 1.

---

#### Algoritmo 1 Por ejemplo

---

*Realiza dos bucles "for" simples.*

1: para ( $i \leftarrow 0; y_0 < 10; i++$ )

2:  $A[i] \leftarrow i$

3: fin para

4:  $j \leftarrow 0$

5: para ( $k \leftarrow 256; k > 1; k \leftarrow k/2$ )

6:  $B[j] \leftarrow k$

7:  $j \leftarrow j+1$

8: fin para

▷ Es una matriz de números enteros de longitud 10

▷ Ahora tiene el valor (0,1,2,3,4,5,6,7,8,9)

▷ Es una matriz de números enteros de longitud 8

▷ Ahora tiene el valor (256,128,64,32,dieciséis,8,4,2)

---

Aritmética con matrices de números enteros. Este estándar hace un uso extensivo de matrices de números enteros.

módulo *metro* (es decir, elementos de  $\mathbb{Z}_{metro}$ ). En un caso típico, los valores relevantes son  $metro = q$  y  $\ell = norte = 256$ .

Aritmética con matrices en  $\mathbb{Z}_{\ell \text{ metro}}$  Se realizará de la siguiente manera. Dejar  $a \in \mathbb{Z}_{metro}$  y  $X, Y \in \mathbb{Z}_{\ell \text{ metro}}$ . Las declaraciones

$$z \leftarrow a \cdot X$$

$$W \leftarrow X + Y$$

476 resultará en dos matrices  $Z, W \in \mathbb{Z}_{\ell \text{ metro}}$ , con la propiedad que  $z[i] = a \cdot X[i]$  y  $W[i] = X[i] + Y[i]$   
 477 para todos  $i$ . Multiplicación de matrices en  $\mathbb{Z}_{\ell \text{ metro}}$  sólo será significativo cuando  $metro = q$  y  $\ell = norte = 256$ , en  
 478 cuyo caso corresponde a la multiplicación en un anillo particular. Esta operación se describirá en (  
 479 2.2) abajo.

480

481 Representaciones de objetos algebraicos. Una operación esencial en ML-KEM es la numeración.

transformada teórica (NTT), que mapea un polinomio  $F$  en cierto anillo  $R_q$  a su “representante NTT”  
 “sentación”  $F$  en un anillo diferente  $t_q$ . Los anillos  $R_q$  y  $t_q$  y el NTT se analizan en detalle en la Sección 4.3.  
 Esta norma representará elementos de  $R_q$  y elementos de  $t_q$  en pseudocódigo usando matrices de  
 módulo de números enteros  $q$ , como sigue.

Un elemento  $F$  de  $R_q$  es un polinomio de la forma

$$F = F_0 + F_1X + \dots + F_{255}X^{255} \in R_q$$

y será representado en pseudocódigo por la matriz

$$(F_0, F_1, \dots, F_{255}) \in \mathbb{Z}_{256q}$$

cuyas entradas contienen los coeficientes de  $F$ . Abusando un poco de la notación, esta matriz también  
 se denotará por  $F$ . La  $i$ -ésima entrada de la matriz  $F$  contendrá así el  $i$ -ésimo coeficiente del polinomio  $F$  (es  
 decir,  $F[i] = F_i$ ).

Un elemento (a veces llamado “representación NTT”)  $gramo$  de  $t_q$  es una tupla de 128 polinomios, cada uno de grado  
 como máximo uno. Específicamente,

$$gramo = (gramo_{0,0} + gramo_{0,1}X, \hat{g}_{1,0} + gramo_{1,1}X, \dots, \hat{g}_{127,0} + gramo_{127,1}X) \in t_q.$$

Un objeto algebraico de este tipo estará representado en pseudocódigo por la matriz

$$(gramo_{0,0}, \hat{g}_{0,1}, \hat{g}_{1,0}, \hat{g}_{1,1}, \dots, \hat{g}_{127,0}, \hat{g}_{127,1}) \in \mathbb{Z}_{256q}.$$

Abusando un poco de la notación, esta matriz también se denotará por  $gramo$ . En este caso, el mapeo entre las  
 entradas de la matriz y los coeficientes es  $gramo[2i] = gramo_{i,0}$  y  $gramo[2i+1] = gramo_{i,1}$  para  $i \in \{0, 1, \dots, 127\}$ .

Convertir entre un polinomio  $F \in R_q$  y su representación NTT  $F \in t_q$  se realizará a través del  
 algoritmos NTT (Algoritmo 8) y NTT<sup>-1</sup> (Algoritmo 9). Estos algoritmos actúan sobre matrices de  
 coeficientes, como se describió anteriormente, y satisfacen  $F = \text{NTT}(F)$  y  $F = \text{NTT}^{-1}(F)$ .

Aritmética con polinomios y representaciones NTT. Las operaciones algebraicas de suma y  
 multiplicación escalar en  $R_q$  y  $t_q$  se realizan en forma de coordenadas. Por ejemplo, si  $a \in \mathbb{Z}_q$  y  $F \in R_q$ , el  $i$ -ésimo  
 coeficiente del polinomio  $a \cdot F \in R_q$  es igual a  $a \cdot F_i$  modificación  $q$ . En pseudocódigo, elementos  
 de ambos  $R_q$  y  $t_q$  están representados por matrices de coeficientes (es decir, elementos de  $\mathbb{Z}_{256q}$ ), como se describió anteriormente.  
 Las operaciones algebraicas de suma y multiplicación escalar se realizan así mediante la suma y  
 multiplicación escalar de las matrices de coeficientes correspondientes. Por ejemplo, la adición de dos  
 representaciones NTT en pseudocódigo se realiza mediante una declaración de la forma  $\hat{h} \leftarrow \hat{A} + gramo$ , donde  
 $\hat{h}, \hat{f}, \hat{g} \in \mathbb{Z}_{256q}$  son matrices de coeficientes.

Las operaciones algebraicas de multiplicación en  $R_q$  y  $t_q$  son tratados de la siguiente manera. Por razones  
 de eficiencia, la multiplicación en  $R_q$  no será utilizado. El significado algebraico de la multiplicación en  $t_q$   
 se analiza en la sección 4.3.1. En pseudocódigo, será realizado por el algoritmo Multiplicar NTT  
 (Algoritmo 10). Específicamente, si  $\hat{f}, \hat{g} \in \mathbb{Z}_{256q}$  son un par de matrices (cada una representa el NTT de

507 algún polinomio), entonces

$$\hat{h} \leftarrow f \times_{t_q} \text{gramo} \quad \text{medio} \quad \hat{h} \leftarrow \text{Multiplicar NTT}(f, \hat{g}). \quad (2.2)$$

508 El resultado es una matriz  $\hat{h} \in \mathbb{Z}_{256}^3$ .

509

510 Matrices y vectores. Además de matrices de módulo de números enteros  $q$ , el pseudocódigo también hará

511 uso de matrices cuyas entradas son en sí mismas elementos de  $\mathbb{Z}_{256}$ . Por ejemplo, un elemento  $v \in (\mathbb{Z}_{256})^3$   $q$

512 será una matriz de longitud tres cuyas entradas  $v[0], v[1]$  y  $v[2]$  son en sí mismos elementos de  $\mathbb{Z}_{256}$  (es decir,

513 matrices). Se puede pensar que cada una de estas entradas representa un polinomio en  $R_q$ , de modo que en sí

514 mismo representa un elemento del módulo  $R_q$ .

515 Cuando se utilizan matrices para representar matrices y vectores cuyas entradas son elementos de  $R_q$ ,

516 se indicarán con letras en negrita (p. ej.,  $\mathbf{v}$  para vectores y  $\mathbf{A}$  para matrices). Cuando se utilizan matrices

517 para representar matrices y vectores cuyas entradas son elementos de  $t_q$ , se denotarán con una

518 “sombbrero” (p. ej.,  $\hat{\mathbf{v}}$  y  $\hat{\mathbf{A}}$ ). A menos que se realice una operación de transposición explícita, se entiende que los

519 vectores son vectores de columna. Entonces se pueden ver los vectores como el caso especial de matrices con una

520 sola columna.

521 Conversión entre matrices sobre  $R_q$  y matrices sobre  $t_q$  se realizará de forma coordinada.

522 Específicamente, si  $\mathbf{A} \in (\mathbb{Z}_{256})^{k \times \ell}$ , entonces la declaración

$$\mathbf{A} \leftarrow \text{NTT}(\mathbf{A})$$

523 resultará en  $\mathbf{A} \in (\mathbb{Z}_{256})^{k \times \ell}$  tal que  $\mathbf{A}[y, j] = \text{NTT}(\mathbf{A}[y, j])$  para todos  $y, j$ . Esto implica correr  $\text{NTT}$  un total de

524  $k \cdot \ell$  veces. Tenga en cuenta que el caso de los vectores corresponde a  $\ell=1$ .

525

526 Aritmética con matrices y vectores. A continuación se describe cómo realizar aritmética con

527 matrices sin dejar de ver los vectores como un caso especial de matrices.

La suma y la multiplicación escalar se realizan por coordenadas. Suma de matrices sobre  $R_q$  y  $t_q$  entonces es sencillo. En el caso de  $t_q$ , la multiplicación escalar se realiza mediante (2.2). Para ejemplo, si  $\mathbf{F} \in \mathbb{Z}_{256}^{3 \times 3}$  y  $\hat{\mathbf{v}} \in (\mathbb{Z}_{256})^3$ , entonces

$$\begin{aligned} \hat{\mathbf{w}} &\leftarrow \mathbf{F} \cdot \hat{\mathbf{v}} \\ \hat{\mathbf{z}} &\leftarrow \hat{\mathbf{w}} + \hat{\mathbf{v}} \end{aligned}$$

528 resultará en  $\hat{\mathbf{w}}, \hat{\mathbf{z}} \in (\mathbb{Z}_{256})^3$  satisfactorio  $\hat{\mathbf{w}}[i] = \mathbf{F} \times_{t_q} \hat{\mathbf{v}}[i]$  y  $\hat{\mathbf{z}}[i] = \hat{\mathbf{w}}[i] + \hat{\mathbf{v}}[i]$  para todos  $i$ . Tenga en cuenta que la

529 multiplicación y suma de entradas individuales aquí se realiza utilizando la aritmética apropiada para

530 matrices de coeficientes de elementos de  $t_q$ .

También será necesario multiplicar matrices con entradas en  $t_q$ . Esto se hace usando la multiplicación de matrices estándar siendo la multiplicación del caso base (es decir, la multiplicación de entradas individuales) la multiplicación en  $t_q$ . Si  $\hat{\mathbf{A}}$  y  $\hat{\mathbf{B}}$  son dos matrices con entradas en  $t_q$ , su producto matricial

se denotará  $\hat{\mathbf{A}} \cdot \hat{\mathbf{B}}$ . A continuación se proporcionan algunos ejemplos de declaraciones en pseudocódigo que implican la multiplicación de matrices. En estos ejemplos,  $\hat{\mathbf{A}}$  es un  $k \times k$  matriz, mientras que  $\hat{\mathbf{u}}$  y  $\hat{\mathbf{v}}$  son vectores de longitud  $k$ . Todo

Tres de estos objetos están representados en pseudocódigo mediante matrices:  $a \times k$  matriz para  $y$  y longitud- $k$  matrices para  $\hat{u}$  y  $\hat{v}$ . Las entradas de  $\hat{A}$ ,  $\hat{u}$  y  $\hat{v}$  son elementos de  $\mathbb{Z}_{256}^q$ . Los dos primeros pseudocódigos Las siguientes declaraciones producen una nueva longitud- $k$  vector cuyas entradas se especifican en el lado derecho. La tercera declaración de pseudocódigo calcula un producto escalar; el resultado está por lo tanto en el anillo base (es decir,  $t_q$ ), y está representado por un elemento de  $\mathbb{Z}_{256}^q$ .

$$\begin{aligned}\hat{w} &\leftarrow A \circ \hat{u} & \hat{w}[j] &= \sum_{j=0}^{k-1} A[y_0, j] \times_{t_q} \hat{u}[j] \\ \hat{y} &\leftarrow A^T \circ \hat{u} & \hat{y}[j] &= \sum_{j=0}^{k-1} A[j, j] \times_{t_q} \hat{u}[j] \\ \hat{z} &\leftarrow \hat{u}^T \circ \hat{v} & \hat{z} &= \sum_{j=0}^{k-1} \hat{u}[j] \times_{t_q} \hat{v}[j]\end{aligned}$$

531 la multiplicación  $\times_{t_q}$  de las entradas individuales anteriores se realiza utilizando [Multiplicar NTT](#), como se describe en  
532 [\(2.2\)](#) arriba.

533

534 Aplicar algoritmos a arrays. Las convenciones de la aritmética de coordenadas descritas anteriormente  
535 también se extenderán a los algoritmos que actúan sobre (y/o producen) un tipo de datos atómicos. Cuando  
536 el pseudocódigo invoca dicho algoritmo en una entrada de matriz, se da a entender que el algoritmo se  
537 invoca repetidamente para cada entrada de la matriz. Por ejemplo, la función [Comprimir](#)  $d: \mathbb{Z}_q \rightarrow \mathbb{Z}_{2d}$   
538 definido en la sección [4](#) se puede invocar en una entrada de matriz  $F \in \mathbb{Z}_{256}^q$  con la declaración

$$k \leftarrow \text{Comprimir}_d(F). \quad (2.3)$$

539 El resultado será que  $k \in \mathbb{Z}_{256}$  y  $k[j] = \text{Comprimir}_d(F[j])$  para cada  $i$ . implica Este cálculo  
540 ejecutar el [Comprimir](#) algoritmo 256 veces.

### 3. Descripción general del esquema ML-KEM

Esta sección ofrece una descripción general de alto nivel del esquema ML-KEM.

#### 3.1 Mecanismos clave de encapsulación

La siguiente es una descripción breve e informal de los mecanismos de encapsulación de claves (o KEM). Para obtener más detalles, consulte NIST SP 800-227 [1].

Un mecanismo de encapsulación de claves (o KEM) es un conjunto de algoritmos que pueden usarse, bajo ciertas condiciones, para establecer una clave secreta compartida entre dos partes que se comunican. Esta clave secreta compartida se puede utilizar para criptografía de clave simétrica.

Un KEM consta de tres algoritmos y una colección de conjuntos de parámetros. Los tres algoritmos son:

- un algoritmo de generación de claves denotado por *Generación de claves*;

- un algoritmo de "encapsulación" indicado por *Encapsula*;

- un algoritmo de "decapsulación" indicado por *Decápsulas*.

La colección de conjuntos de parámetros se utiliza para seleccionar un equilibrio entre seguridad y eficiencia. Cada parámetro establecido en la colección es una lista de valores numéricos específicos, uno para cada parámetro requerido por los algoritmos anteriores.

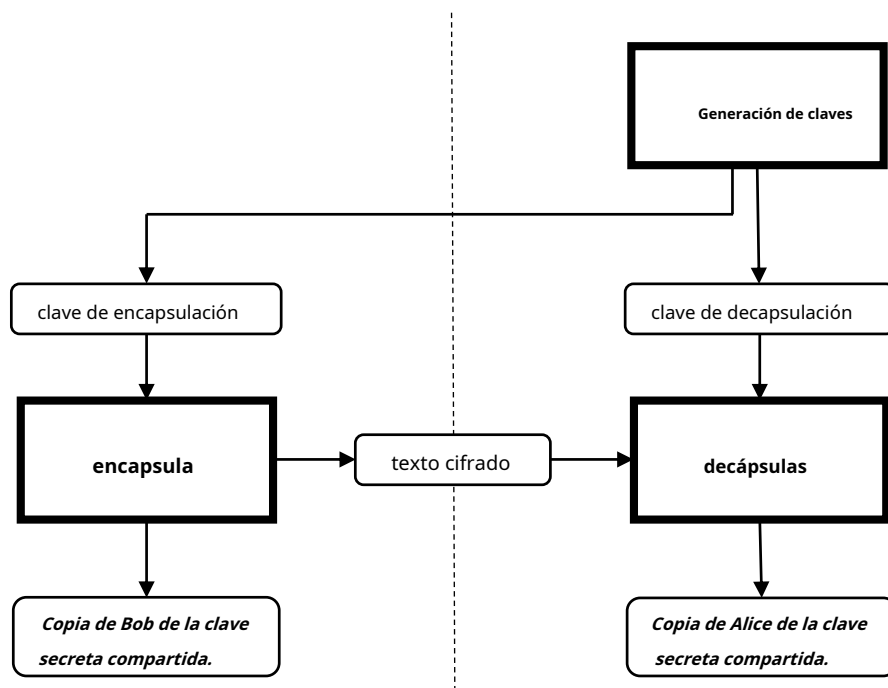


Figura 1. Una vista simple del establecimiento de claves utilizando un KEM

Se puede utilizar un KEM para establecer una clave secreta compartida entre dos partes (consulte la Figura 1) referido aquí como Alice y Bob. Alice comienza a correr. Generación de claves para generar una clave de encapsulación (pública) y una clave de decapsulación (privada). Al obtener la clave de encapsulación de Alice,

559 Bob dirige el encapsulamiento algoritmo; esto produce la copia de Bob  $k_B$  de la clave secreta compartida junto con un  
 560 texto cifrado asociado. Bob envía el texto cifrado a Alice, y Alice completa el proceso ejecutando el  
 561 decapsulamiento algoritmo que utiliza su clave de decapsulación y el texto cifrado; este paso produce la copia de  
 562 Alice  $k_A$  de la clave secreta compartida.

563 Después de completar el proceso anterior, a Alice y Bob les gustaría concluir que sus resultados individuales  
 564 satisfacen  $k_A = k_B$  y que este valor es una clave secreta segura, aleatoria y compartida. Sin embargo, estas  
 565 propiedades sólo se mantienen bajo ciertos supuestos importantes, como se analiza en NIST SP 800-227 [1].

## 566 3.2 El esquema ML-KEM

567 ML-KEM es un mecanismo de encapsulación de claves basado en CRYSTALS-KYBER[4], un esquema  
 568 que fue descrito inicialmente en [8]. La siguiente es una descripción breve e informal de la  
 569 suposición computacional subyacente a ML-KEM y cómo se construye el esquema ML-KEM.

570

571 El supuesto computacional. La seguridad de ML-KEM se basa en la presunta dificultad de resolver  
 572 el problema denominado Aprendizaje de Módulos con Errores (MLWE) [9], una generalización del  
 573 problema de aprendizaje con errores (LWE) introducido por Regev en 2005 [10]. La dureza del  
 574 problema MLWE se basa en la supuesta dureza de ciertos problemas computacionales en redes  
 575 de módulos [9]. De ahí el nombre del esquema ML-KEM.

576 En el problema LWE, la entrada es un conjunto de ecuaciones lineales aleatorias "ruidosas" en algún secreto  
 577 variables  $X \in \mathbb{Z}_q^{n \times m}$ , y la tarea es recuperar  $X$ . El ruido en las ecuaciones es tal que el estándar  
 578 Los algoritmos (por ejemplo, la eliminación gaussiana) son intratables. El problema LWE se presta naturalmente a  
 579 aplicaciones criptográficas. Por ejemplo, si  $X$  se interpreta como una clave secreta, entonces se puede cifrar un valor  
 580 de un bit muestreando una ecuación lineal aproximadamente correcta (si el valor del bit es cero) o una ecuación  
 581 lineal que dista mucho de ser correcta (si el valor del bit es uno). Es plausible que sólo una parte en posesión de  $X$   
 582 Entonces podemos distinguir estos dos casos. Luego, el cifrado se puede delegar a otra parte mediante la  
 583 publicación de una gran colección de ecuaciones lineales ruidosas, que la parte que cifra puede combinar  
 584 adecuadamente. El resultado es un esquema de cifrado asimétrico.

585 En un nivel alto, el problema MLWE plantea la misma tarea que LWE pero con  $\mathbb{Z}_q$  reemplazado con el  
 586 módulo  $R_k$  construido tomando el  $k$ -pliegue del producto cartesiano de un determinado anillo polinómico  $R_q$  para  
 587 algún número entero  $k > 1$ . En particular, el secreto es ahora un elemento  $X$  del módulo  $R_k$   $q$ .

588

589 La construcción ML-KEM. A alto nivel, la construcción del ML-KEM se desarrolla en dos pasos. Primero, la idea  
 590 mencionada anteriormente se utiliza para construir un esquema de cifrado de clave pública a partir del  
 591 problema MLWE. En segundo lugar, este esquema de cifrado de clave pública se convierte en un mecanismo  
 592 de encapsulación de claves mediante la denominada transformación Fujisaki-Okamoto (FO) [11, 12]. Además  
 593 de producir un KEM, la transformación FO también pretende proporcionar seguridad en un modelo de  
 594 ataque adversario significativamente más general. Como resultado, se cree que ML-KEM satisface la llamada  
 595 seguridad IND-CCA [1, 4, 13].

596 La especificación de los algoritmos ML-KEM en este estándar seguirá el patrón anterior.  
 597 Específicamente, este estándar describirá primero un esquema de cifrado de clave pública llamado K-  
 598 PKE y luego utilizará los algoritmos de K-PKE como subrutinas al describir los algoritmos de ML-KEM. La  
 599 transformación criptográfica de K-PKE a ML-KEM es crucial para lograr una seguridad total.

El esquema K-PKE no es lo suficientemente seguro y no debe utilizarse como un esquema independiente (consulte la Sección 3.3).

Una característica notable de ML-KEM es el uso de la *transformada teórica de números* (NTT). El NTT convierte un polinomio  $F \in R_q$  a una representación alternativa como un vector  $F$  de polinomios lineales. Aunque las representaciones NTT permiten una multiplicación rápida, se deben aplicar otras operaciones, como el redondeo y el muestreo, a las representaciones polinómicas estándar.

ML-KEM satisface las propiedades clave de la corrección de KEM y se conoce una prueba de seguridad teórica asintótica (en un determinado modelo heurístico) [4]. Cada uno de los conjuntos de parámetros de ML-KEM viene con una fortaleza de seguridad asociada, que se estimó en base al criptoanálisis actual (consulte la Sección 7 para detalles).

Conjuntos de parámetros y algoritmos. Recuerde que un KEM consta de algoritmos KeyGen, encaps, y decápsulas, junto con una colección de conjuntos de parámetros. En el caso de ML-KEM, los tres algoritmos antes mencionados son:

- ML-KEM.Generación de claves (Algoritmo 15);
- ML-KEM.encapsula (Algoritmo dieciséis);
- ML-KEM.decápsulas (Algoritmo 17).

Estos algoritmos se describen y analizan en detalle en la Sección 6. ML-KEM viene equipado con tres conjuntos de parámetros:

- ML-KEM-512 (categoría de seguridad 1);
- ML-KEM-768 (categoría de seguridad 3);
- ML-KEM-1024 (categoría de seguridad 5).

Estos conjuntos de parámetros se describen y analizan en detalle en la Sección 7; Las categorías de seguridad 1-5 se definen en el Apéndice A. Cada conjunto de parámetros asigna un valor numérico particular a cinco variables enteras:  $k, \eta_1, \eta_2, dt_u$ , y  $dv$ . Los valores de estas variables en cada conjunto de parámetros se dan en la Tabla 2 de Sección 7. Además de estos cinco parámetros variables, también existen dos constantes:  $n_{\text{orte}}=256$  y  $q=3329$ .

Fallos de decapsulación. Siempre que todas las entradas estén bien formadas, el procedimiento de establecimiento de claves de ML-KEM nunca fallará explícitamente. Específicamente, el ML-KEM.encapsula y ML-KEM.decápsulas Los algoritmos siempre generarán un valor con el mismo tipo de datos que una clave secreta compartida y nunca generarán un símbolo de error o falla. Sin embargo, es posible (aunque extremadamente improbable) que el proceso falle en el sentido de que Alice (a través de ML-KEM.decápsulas) y Bob (vía ML-KEM.encapsula) producirán resultados diferentes, aunque ambos se comporten honestamente y no haya ninguna interferencia adversaria. En este caso, Alice y Bob claramente no lograron producir una clave secreta compartida. Este evento se llama falla de decapsulación. La probabilidad de falla de decapsulación se define como la probabilidad de que el proceso

1.  $(ek, NS) \leftarrow \text{ML-KEM.Generación de claves}()$

638 2.  $(c, k) \leftarrow \text{ML-KEM.encapsula}(ek)$

639 3.  $k' \leftarrow \text{ML-KEM.decápsulas}(C, NS)$

640 resultados en  $k \neq k'$  (es decir, la clave encapsulada es diferente de la clave decapsulada). Las estimaciones de la  
 641 probabilidad (o tasa) de falla de decapsulación para cada uno de los conjuntos de parámetros ML-KEM se dan en la  
 642 Tabla 1 (ver [4]).

Tabla 1. Tasas de falla de decapsulación para ML-KEM

Conjunto de parámetros	Tasa de fracaso de decapsulación
ML-KEM-512	$2^{-139}$
ML-KEM-768	$2^{-164}$
ML-KEM-1024	$2^{-174}$

643  
 644 Una nota sobre la terminología de las claves. Un KEM implica tres tipos diferentes de claves: claves de  
 645 encapsulación, claves de decapsulación y claves secretas compartidas. ML-KEM se basa en el esquema de  
 646 cifrado de clave pública K-PKE, y K-PKE tiene dos tipos de claves adicionales: claves de cifrado y claves de  
 647 descifrado. En la literatura, las claves de encapsulación y las claves de cifrado a veces se denominan "claves  
 648 públicas", mientras que las claves de decapsulación y descifrado a veces se pueden denominar "claves  
 649 privadas". Para reducir la confusión, este estándar no utilizará los términos "clave pública" y "clave privada".  
 650 En su lugar, nos referiremos a las claves utilizando los términos más específicos anteriores (es decir, clave de  
 651 encapsulación, clave de decapsulación, clave de cifrado, clave de descifrado o clave secreta compartida).  
 652

### 653 3.3 Requisitos para implementaciones ML-KEM

654 Esta sección describe varios requisitos para implementar los algoritmos de ML-KEM. Los requisitos para  
 655 utilizar ML-KEM en aplicaciones específicas se proporcionan en NIST SP 800-227 [1].

656  
 657 K-PKE es sólo un componente. El esquema de cifrado de clave pública K-PKE descrito en la Sección 5 no  
 658 debe utilizarse como un esquema criptográfico independiente. En cambio, los algoritmos que  
 659 componen K-PKE solo pueden usarse como subrutinas en los algoritmos de ML-KEM. En particular, los  
 660 algoritmos [K-PKE.Generación de claves](#) (Algoritmo 12), [K-PKE.cifrar](#) (Algoritmo 13), y [K-PKE.Descifrar](#)  
 661 (Algoritmo 14) son no aprobados para su uso como esquema de cifrado de clave pública.

662  
 663 Implementaciones equivalentes. Cada uno de los tres algoritmos de nivel superior (es decir, [ML-KEM.Generación de](#)  
 664 [claves](#), [ML-KEM.encapsula](#), y [ML-KEM.decápsulas](#)) define una operación matemática particular, asignando cualquier  
 665 entrada dada a una salida correspondiente. Por ejemplo, la operación definida por el algoritmo [ML-KEM.encapsula](#)  
 666 toma una matriz de bytes como entrada y produce dos matrices de bytes como salida.

667 En esta norma, las tres operaciones definidas por [ML-KEM.Generación de claves](#), [ML-KEM.encapsula](#), y [ML-KEM](#)  
 668 [.decápsulas](#) se describen utilizando secuencias particulares de pasos computacionales. Una implementación  
 669 conforme puede reemplazar cada una de estas secuencias con una secuencia diferente de pasos, siempre  
 670 que la operación resultante sea un proceso equivalente al especificado en este estándar.



671 Por ejemplo, una implementación conforme de la operación de encapsulación debe tener la propiedad de que, para  
672 cualquier conjunto de parámetros y cualquier matriz de bytes de entrada  $u$ , la distribución de las matrices de bytes de  
673 salida es idéntica a la distribución  $\text{ML-KEM.encapsula}(ek)$  como se especifica en esta norma.

674

675 Uso aprobado de la clave secreta compartida. La salida de los algoritmos de encapsulación y decapsulación de ML-  
676 KEM es siempre un valor de 256 bits. En condiciones apropiadas (ver arriba; ver también NIST SP 800-227 [1]), esta  
677 salida es una clave secreta compartida  $k$ . Esta clave secreta compartida  $k$  se puede utilizar directamente como clave  
678 para criptografía simétrica. Cuando se necesita la derivación de claves, las claves simétricas finales deberán derivarse  
679 de esta clave secreta compartida de 256 bits  $k$  en una aprobada manera, como se especifica en NIST SP 800-108 [14].

680

681

682 Generación de aleatoriedad. Tres algoritmos de este estándar requieren la generación de aleatoriedad: [K-PKE](#),  
683 [Generación de claves](#), [ML-KEM.Generación de claves](#), y [ML-KEM.encapsula](#). En pseudocódigo, el paso en el que  
684 esta aleatoriedad se genera se indica mediante una declaración en pseudocódigo de la forma  $\text{metro} \leftarrow \text{psB32}$ . un fresco  
685 Se debe generar una cadena de bytes aleatorios para cada invocación de este tipo. Estos bytes  
686 aleatorios deberá ser generado utilizando un aprobado RBG, según lo prescrito en NIST SP 800-90A,  
687 NIST SP 800-90B y NIST SP 800-90C [15, [dieciséis](#), 17]. Además, el RBG utilizado deberá tener una seguridad  
688 de al menos 128 bits para ML-KEM-512, al menos 192 bits para ML-KEM-768 y al menos 256 bits para  
689 ML-KEM-1024.

690

691 Validación de entrada. Los algoritmos [ML-KEM.encapsula](#) y [ML-KEM.decápsulas](#) requieren validación de entrada.  
692 Implementadores deberán asegurarse de que [ML-KEM.encapsula](#) y [ML-KEM.decápsulas](#) sólo se ejecutan en entradas  
693 validadas, como se describe en la Sección 6. Como se analizó anteriormente, los implementadores pueden optar  
694 por implementar los algoritmos de nivel superior (es decir, [ML-KEM.encapsula](#), [ML-KEM.decápsulas](#), o [ML-KEM](#),  
695 [Generación de claves](#)) utilizando cualquier proceso equivalente; la validación de los insumos se considera parte de  
696 este proceso. Una implementación conforme deberá ser equivalente a validar primero la entrada y luego ejecutar el  
697 algoritmo apropiado.

698

699 Destrucción de valores intermedios. Los datos utilizados internamente por los algoritmos KEM en pasos de cálculo  
700 intermedios podrían ser utilizados por un adversario para comprometer la seguridad. Implementadores deberá, por lo  
701 tanto, asegurarse de que dichos datos intermedios se destruyan tan pronto como ya no sean necesarios.

702

703 Sin aritmética de punto flotante. Implementaciones de ML-KEM no debe utilizar aritmética de punto flotante.  
704 Todos los pasos de división y redondeo de los algoritmos de ML-KEM se pueden realizar dentro del conjunto  
705 de números racionales.

## 706 4. Algoritmos auxiliares

### 707 4.1 Funciones criptográficas

708 Los algoritmos especificados en esta publicación requieren el uso de varias funciones criptográficas.  
 709 Cada función deberá ser instanciado mediante un aprobado función hash o una aprobado Función de  
 710 salida extensible (XOF), como se describe a continuación. Las funciones hash y XOF relevantes se  
 711 describen en detalle en FIPS 202 [7]. Se utilizarán de la siguiente manera.

712 SHA3-256 y SHA3-512 son funciones hash con entrada de longitud variable y salida de longitud fija. En este  
 713 estándar, las invocaciones de estas funciones en una entrada *METRO* se indicará con SHA3-256(*METRO*) y  
 714 SHA3-512(*METRO*), respectivamente.

715 SHAKE128 y SHAKE256 son XOF con entrada y salida de longitud variable. Invocaciones de estas funciones en  
 716 una entrada *METRO* se indicará de dos maneras diferentes, dependiendo de si la longitud de salida deseada  $\ell$   
 717 en bytes) se conoce en el momento de la invocación. Si  $\ell$  se conoce en el momento de la invocación, la  
 718 invocación se indicará con SHAKE128(*METRO*,  $\ell$ ) o AGITAR256(*METRO*,  $\ell$ ). Para SHAKE128, a veces no se  
 719 conocerá la longitud de salida en el momento de la invocación; en esos casos, la invocación se indicará con  
 720 SHAKE128(*METRO*) y la rutina de hash se comportará como un flujo de bytes que proporciona bytes  
 721 pseudoaleatorios (realizando rondas de "compresión" adicionales [7]) hasta que no se necesiten más bytes.  
 722

723 Las funciones anteriores desempeñarán varios roles diferentes en los algoritmos especificados en este estándar.  
 724 Será conveniente asignar una notación específica a cada uno de estos roles, como sigue.

725

726 Función pseudoaleatoria (PRF). La función PRF toma un parámetro  $\eta \in \{2, 3\}$ , una entrada de 32  
 727 bytes y una entrada de 1 byte. Produce uno  $(64 \cdot \eta)$ -byte de salida. Se denotará por PRF:  $\{2, 3\} \times$   
 728  $B_{32} \times B \rightarrow B_{64 \cdot \eta}$ , y se deberá ser instanciado como

$$\text{PRF}_{\eta}(s, b) := \text{AGITAR256}(s \| b, 64 \cdot \eta), \quad (4.1)$$

729 donde  $\eta \in \{2, 3\}$ ,  $s \in B_{32}$ , y  $b \in B$ . Aquí,  $\eta$  solo se utiliza para especificar la longitud de salida deseada y no para realizar la  
 730 separación de dominios. Tenga en cuenta que el parámetro de longitud de salida para SHAKE256 se especifica en  
 731 bytes.

732

733 Función de salida extensible (XOF). La función XOF toma una entrada de 32 bytes y dos entradas de  
 734 1 byte. Produce una salida de longitud variable. Esta función se denotará por XOF:  $B_{32} \times B \times B \rightarrow B^*$ , y  
 735 se deberá ser instanciado como

$$\text{XOF}(\rho, y_0, j) := \text{AGITAR128}(\rho \| i \| j), \quad (4.2)$$

736 donde  $\rho \in B_{32}$ ,  $i \in B$ ,  $y \in B$ . La función XOF sólo se invocará para proporcionar un flujo de bytes  
 737 pseudoaleatorios para el algoritmo de muestreo *MuestraNTT* (Algoritmo 6). Como *MuestraNTT* realiza un  
 738 muestreo de rechazo, el número total de bytes necesarios no se conocerá en el momento en que XOF  
 739 es invocado.

740

741 Tres funciones hash. La especificación también hará uso de tres instancias de función hash.  $h, j$ , y  
 742  $GRAMO$ , como sigue.

743 Las funciones  $h$  y  $j$  cada uno toma una entrada de longitud variable y produce una salida de 32  
 744 bytes. Se denotarán por  $h: B^* \rightarrow B_{32}$  y  $j: B^* \rightarrow B_{32}$ , respectivamente, y deberán ser instanciados como

$$h(s) := \text{SHA3-256}(s) \quad \text{y} \quad j(s) := \text{AGITAR256}(s, 32) \quad (4.3)$$

745 donde  $s \in B^*$ .

746 La función  $GRAMO$  toma una entrada de longitud variable y produce dos salidas de 32 bytes. Se denotará por  
 747  $GRAMO: B^* \rightarrow B_{32} \times B_{32}$ . Las dos salidas de  $GRAMO$  se denotará por, por ejemplo,  $(a, b) \leftarrow GRAMO(C)$ , donde  
 748  $a, b \in B_{32}, C \in B^*$ , y  $GRAMO(C) = a \| b$ . La función  $GRAMO$  deberá ser instanciada como

$$GRAMO(C) := \text{SHA3-512}(C). \quad (4.4)$$

749

750

## 751 4.2 Algoritmos generales

752 Esta sección especifica una serie de algoritmos que se utilizarán como subrutinas en los principales  
 753 algoritmos de ML-KEM. Para una discusión sobre cómo interpretar el pseudocódigo de estos algoritmos,  
 754 consulte la Sección 2.4.

### 755 4.2.1 Algoritmos de conversión y compresión

756 Esta sección especifica varios algoritmos para convertir entre matrices de bits, matrices de bytes y matrices de números  
 757 enteros. *metro*. También especifica una determinada operación de compresión para módulos de números enteros  $q$ , así  
 758 como la correspondiente operación de descompresión.

759

760 Conversión entre bits y bytes. Algoritmos 2 y 3 convertir entre matrices de bits y matrices de bytes.  
 761 Las entradas a **Bits a bytes** y las salidas de **Bytes a bits** son matrices de bits, en las que cada  
 762 segmento de 8 bits representa un byte en orden little-endian.

---

#### Algoritmo 2 **Bits a bytes**( $b$ )

---

*Convierte una cadena de bits (de longitud múltiplo de ocho) en una matriz de bytes.*

Aporte: matriz de bits  $b \in \{0, 1\}^{8 \cdot \ell}$ .

Producción: matriz de bytes  $B \in B^\ell$ .

```

1:  $B \leftarrow (0, \dots, 0)$ 
2: para  $(i \leftarrow 0; y_o < 8 \cdot \ell; i++)$ 
3:    $B[\lfloor i/8 \rfloor] \leftarrow B[\lfloor i/8 \rfloor] + b[i] \cdot 2^{i \bmod 8}$ 
4: fin para
5: devolver  $B$ 
```

---

---

**Algoritmo 3 Bytes a bits( $B$ )**


---

*Realiza la inversa de Bits a bytes, convirtiendo una matriz de bytes en una matriz de bits.*

Aporte: matriz de bytes  $B \in \mathbb{B}^{\ell}$ .

Producción: matriz de bits  $b \in \{0,1\}^{8 \cdot \ell}$ .

```

1: para ( $i \leftarrow 0; i < \ell; i++$ )
2:   para ( $j \leftarrow 0; j < 8; j++$ )
3:      $b[8i+j] \leftarrow B[i] \bmod 2 \cdot B[j]$ 
4:      $j \leftarrow \lfloor B[i]/2 \rfloor$  / fin para
5:
6: fin para
7: devolver  $b$ 

```

---

Compresión y descompresión. Recordar que  $q=3329$ , y tenga en cuenta que la longitud de bits de  $q$  es 12. Para  $r \leq 12$ , definir

$$\text{Comprimir}_d: \mathbb{Z}_q \rightarrow \mathbb{Z}_{2^d} \quad (4.5)$$

$$X \mapsto \lfloor (2^d/q) \cdot X \rfloor.$$

$$\text{Descomprimir}_d: \mathbb{Z}_{2^d} \rightarrow \mathbb{Z}_q \quad (4.6)$$

$$y \mapsto \lfloor (q/2^d) \cdot y \rfloor.$$

763 Tenga en cuenta que los tipos de entrada y salida de estas funciones son números enteros módulo  $m$  (ver discusión de tipos en la Sección 2.4). La división y el redondeo en el cálculo de las funciones anteriores se  
 764 realizan en el conjunto de números racionales. Cálculos de punto flotante no deben ser usados.

766 Informalmente, **Comprimir** descarta bits de orden inferior de la entrada, y **Descomprimir** agrega bits de orden  
 767 inferior establecidos en cero. Estos algoritmos satisfacen dos propiedades importantes. Primero, la descompresión  
 768 seguida de la compresión preserva la entrada, es decir,  $\text{Comprimir}_d(\text{Descomprimir}_d(y)) = y$  para todos  $y \in \mathbb{Z}_q$  y todo  $r <$   
 769 12. En segundo lugar, si  $d$  es grande (es decir, cerca de 12), lo que significa que el número de bits descartados es  
 770 pequeño; la compresión seguida de la descompresión no altera significativamente el valor. Específicamente,  
 771

$$|\text{Descomprimir}_d(\text{Comprimir}_d(X)) - X| \text{ modificación } \leq \lceil q/2^{d+1} \rceil \quad (4.7)$$

772 para todos  $X \in \mathbb{Z}_q$  y todo  $r \leq 12$ .

773

774 Codificación y decodificación. Los algoritmos **Código de bytes** (Algoritmo 4) y **Decodificación de bytes** (Algoritmo 5) se utilizará  
 775 para la serialización y deserialización de matrices de módulo de números enteros  $m$ . Todas las matrices serializadas  
 776 tendrán una longitud  $n_{\text{byte}}=256$ . **Código de bytes** serializa una serie de enteros de bits en una matriz de  $32 \cdot d$  bytes.  
 777 **Decodificación de bytes** realiza la operación de deserialización correspondiente, convirtiendo una matriz de  $32 \cdot d$  bytes en  
 778 una matriz de enteros de bits.

779 Para la siguiente discusión, es conveniente ver **Decodificación de bytes** y **Código de bytes** como  
 780 convertir entre números enteros y bits. (La conversión entre bits y bytes es sencilla y se realiza  
 781 utilizando **Bits a bytes** y **Bytes a bits**.)

782 El rango válido de valores para el parámetro  $d$  es  $1 \leq d \leq 12$ . Las matrices de bits se dividen en  $d$   
 783 -segmentos de bits. En el caso donde  $1 \leq d \leq 11$ , [Decodificación de bytes](#) $_d$  convierte cada uno  $d$  segmento  
 784 de bits de la entrada en un entero módulo  $2^d$ , y [Código de bytes](#) $_d$  realiza la operación inversa. En este  
 785 caso la conversión es uno a uno.

786 El caso  $d=12$  recibe un trato diferente. En este caso, [Código de bytes](#) $_{12}$  recibe módulo de números enteros  $q$  como  
 787 entrada, y [Decodificación de bytes](#) $_{12}$  produce enteros módulo  $q$  como salida. [Decodificación de bytes](#) $_{12}$  convierte cada  
 788 segmento de 12 bits de la entrada en un entero módulo  $2^{12} = 4096$ , y luego reduce el módulo de resultado  $q$ . Esta  
 789 ya no es una operación uno a uno. De hecho, algunos segmentos de 12 bits podrían corresponder a un número  
 790 entero mayor que  $q=3329$  pero menos de 4096; sin embargo, esto no puede ocurrir para matrices producidas por  
 791 [Código de bytes](#) $_{12}$ . Estos aspectos de [Decodificación de bytes](#) $_{12}$  y [Código de bytes](#) $_{12}$  será importante al considerar la  
 792 validación de la clave de encapsulación ML-KEM en la Sección 6.

---

#### Algoritmo 4 [Código de bytes](#) $_d(F)$

---

*Codifica una matriz de enteros de  $d$  bits en una matriz de bytes, por ejemplo  $1 \leq d \leq 12$ .*

Aporte: matriz de enteros  $F \in \mathbb{Z}_{2^{256}}^{metro}$ , donde  $metro = 2^d$  si  $d < 12$  y  $metro = q$  si  $d = 12$ .

Producción: matriz de bytes  $B \in \mathbb{B}^{32d}$ .

```

1: para ( $i \leftarrow 0$ ;  $yo < 256$ ;  $i++$ )
2:    $a \leftarrow F[i]$   $\triangleright a \in \mathbb{Z}_{2^d}$ 
3:   para ( $j \leftarrow 0$ ;  $j < re$ ;  $j++$ )
4:      $b[j \cdot d + i] \leftarrow a \bmod 2^a$   $\triangleright b \in \{0, 1\}_{2^{56 \cdot d}}$ 
5:      $a \leftarrow (a - b[j \cdot d + i]) / 2$   $\triangleright$  nota  $a - b[j \cdot d + i]$  siempre es par
6:
7: fin para
8:  $B \leftarrow \text{Bits a bytes}(b)$ 
9: devolver  $B$ 
```

---



---

#### Algoritmo 5 [Decodificación de bytes](#) $_d(B)$

---

*Decodifica una matriz de bytes en una matriz de enteros de  $d$  bits, por ejemplo  $1 \leq d \leq 12$ .*

Aporte: matriz de bytes  $B \in \mathbb{B}^{32d}$ .

Producción: matriz de enteros  $F \in \mathbb{Z}_{2^{256}}^{metro}$ , donde  $metro = 2^d$  si  $d < 12$  y  $metro = q$  si  $d = 12$ .

```

1:  $b \leftarrow \text{Bytes a bits}(B)$ 
2: para ( $i \leftarrow 0$ ;  $yo < 256$ ;  $i++$ )
3:    $F[i] \leftarrow \sum_{re \neq 0} b[j \cdot d + i] \cdot 2^{re \cdot metro}$ 
4: fin para
5: devolver  $F$ 
```

---

## 793 4.2.2 Algoritmos de muestreo

794 Los algoritmos de ML-KEM requieren dos subrutinas de muestreo que se especifican en Algoritmos 6 y 7.  
 795 Ambos algoritmos se pueden utilizar para convertir un flujo de bytes uniformemente aleatorios en una  
 796 muestra de alguna distribución deseada. En este estándar, estos algoritmos se invocarán con un flujo de  
 797 bytes pseudoaleatorios como entrada. De ello se deduce que el resultado será una muestra de una  
 798 distribución que es computacionalmente indistinguible de la distribución deseada.

799

800 Muestreo uniforme de representaciones NTT. el algoritmo **MuestraNTT** (Algoritmo 6) convierte un flujo  
 801 de bytes en un polinomio en el dominio NTT. Si el flujo de entrada consta de bytes uniformemente  
 802 aleatorios, entonces el resultado se extraerá uniformemente al azar de  $T_q$ . La salida es una matriz.  
 803  $\mathbb{Z}_{256}^{256}$  que contiene los coeficientes del elemento muestreado de  $T_q$  (mira la sección 2.4).

---

**Algoritmo 6 **MuestraNTT**( $B$ )**


---

*Si la entrada es un flujo de bytes uniformemente aleatorios, la salida es un elemento uniformemente aleatorio de  $T_q$ .*

Aporte: flujo de bytes  $B \in \mathbb{B}^*$ .

Producción: formación  $a \in \mathbb{Z}_{256}^{256}$

▷ los coeficientes del NTT de un polinomio

```

1:  $i \leftarrow 0$ 
2:  $j \leftarrow 0$ 
3: mientras  $j < 256$  hacer
4:    $d_1 \leftarrow B[j] + 256 \cdot (B[i+1] \bmod 16)$   $d_2 \leftarrow \lfloor B$ 
5:    $[i+1]/\text{dieciséis} + 16 \cdot B[i+2]$  si  $d_1 < q$ 
6:   entonces
7:      $a[j] \leftarrow d_1$ 
8:      $j \leftarrow j+1$ 
9:   terminara si
10:  si  $d_2 < q$  y  $j < 256$  entonces
11:     $a[j] \leftarrow d_2$ 
12:     $j \leftarrow j+1$ 
13:  terminara si
14:   $i \leftarrow i+3$ 
15: terminar mientras
dieciséis: devolver  $a$ 

```

▷  $a \in \mathbb{Z}_{256}^{256}$

---

**Algoritmo 7 **MuestraPolyCBD** $_{\eta}(B)$** 


---

*Si la entrada es un flujo de bytes uniformemente aleatorios, genera una muestra de la distribución  $D_{\eta}(R_q)$ .*

Aporte: matriz de bytes  $B \in \mathbb{B}^{64\eta}$ .

Producción: formación  $F \in \mathbb{Z}_{256}^{256}$

▷ los coeficientes del polinomio muestreado

```

1:  $b \leftarrow \text{Bytes a bits}(B)$ 
2: para ( $i \leftarrow 0$ ;  $y_0 < 256$ ;  $i++$ )
3:    $X \leftarrow \sum_{j=0}^{\eta-1} b[2i\eta+j]$ 
4:    $y \leftarrow \sum_{j=0}^{\eta-1} b[2i\eta+\eta+j]$   $F[i] \leftarrow$ 
5:    $x-y$  modificación  $q$ 
6: fin para
7: devolver  $F$ 

```

▷  $F \in \mathbb{Z}_{256}^{256}$

804

805 Muestreo a partir de la distribución binomial centrada. ML-KEM hace uso de una distribución  
 806 especial  $D_{\eta}(R_q)$  de polinomios en  $R_q$  con coeficientes pequeños. Estos polinomios a veces

denominarse “errores” o “ruido”. La distribución está parametrizada por un número entero.  $\eta \in \{2, 3\}$ . Para muestrear un polinomio de  $D_\eta(R_q)$ , cada uno de sus coeficientes se muestrea independientemente a partir de una determinada distribución binomial centrada (CBD) en  $z_q$ . el algoritmo [MuestraPolyCBD](#) (Algoritmo 7) muestra la matriz de coeficientes de un polinomio  $F \in R_q$  según la distribución  $D_\eta(R_q)$ , siempre que su entrada sea un flujo de bytes uniformemente aleatorios.

### 4.3 La transformada de la teoría de números

La transformada de teoría de números (o NTT) puede verse como una versión exacta y especializada de la transformada discreta de Fourier. En el caso de ML-KEM, el NTT se utiliza para mejorar la eficiencia de la multiplicación en el anillo  $R_q$ . Recordar que  $R_q$  es el anillo  $\mathbb{Z}_q[X]/(X^{norte}+1)$  que consta de polinomios de la forma  $F = F_0 + F_1X + \dots + F_{255}X^{255}$  donde  $F_j \in \mathbb{Z}_q$  para todos  $j$ , equipado con módulo aritmético  $X^{norte}+1$ .

El anillo  $R_q$  es naturalmente isomorfo a otro anillo, denotado  $t_q$ , que es una suma directa de 128 extensiones cuadráticas de  $\mathbb{Z}_q$ . El NTT es un isomorfismo computacionalmente eficiente entre estos dos anillos. Al ingresar un polinomio  $F \in R_q$ , el NTT genera un elemento  $\tilde{F} = \text{NTT}(F)$  del anillo  $t_q$ , donde  $\tilde{F}$  se llama la “representación NTT” de  $F$ . La propiedad de isomorfismo implica que

$$F \times_{R_q} G = \text{NTT}^{-1}(\tilde{F} \times_{t_q} \tilde{G}), \quad (4.8)$$

dónde  $\times_{R_q}$  y  $\times_{t_q}$  denotar multiplicación en  $R_q$  y  $t_q$ , respectivamente. Es más, desde  $t_q$  es un producto de 128 anillos, cada uno de los cuales consta de polinomios de grado uno, la operación  $\times_{t_q}$  es mucho más eficiente que la operación  $\times_{R_q}$ . Por estas razones, el NTT se considera una parte integral de ML-KEM y no simplemente una optimización.

como los anillos  $R_q$  y  $t_q$  tener una estructura de espacio vectorial sobre  $\mathbb{Z}_q$ , el tipo de datos abstracto más natural representar elementos de cualquiera de estos anillos es  $\mathbb{Z}_{norte}^q$ . Por esta razón, la elección de la estructura de datos para las entradas y salidas de  $\text{NTT}$  y  $\text{NTT}^{-1}$  son longitud- $norte$  matrices de números enteros módulo  $q$ . Se entiende que estas matrices representan elementos de  $t_q$  o  $R_q$ , respectivamente (ver Sección 2.4). Ambos  $\text{NTT}$  y  $\text{NTT}^{-1}$  se puede calcular in situ. De hecho, los algoritmos 8 y 9 demostrar un medio eficiente de computación  $\text{NTT}$  y  $\text{NTT}^{-1}$  en su lugar. Sin embargo, para mayor claridad en la comprensión de la distinción de los objetos algebraicos antes y después de la conversión, los algoritmos se escriben con entradas y salidas explícitas.

La estructura matemática de una NTT simple. Recordemos que, en ML-KEM,  $q$  es el primo  $3329 = 2^8 \cdot 13 + 1$  y  $norte = 256$ . Hay 128 raíces primitivas de unidad 256 y ninguna raíz primitiva de unidad 512 en  $\mathbb{Z}_q$ . Tenga en cuenta que  $\zeta = 17 \in \mathbb{Z}_q$  es una raíz primitiva número 256 del módulo unitario  $q$ . De este modo  $\zeta^{128} = -1$ .

Definir  $\text{BitRev}_7(i)$  ser el número entero representado mediante la inversión de bits del valor de 7 bits sin signo que corresponde al número entero de entrada  $i \in \{0, \dots, 127\}$ .

El polinomio  $X^{256}+1$  factoriza 128 polinomios de grado 2 módulo  $q$  como sigue:

$$X^{256}+1 = \prod_{k=0}^{127} (X^2 - \zeta^{2^{\text{BitRev}_7(k)+1}}). \quad (4.9)$$

842 Por lo tanto,  $R_q = \mathbb{Z}_q[X]/(X^{256}+1)$  es isomorfo a una suma directa de 128 campos de extensión cuadrática de  $\mathbb{Z}_q$ ,  
 843 denotado  $t_q$ . En concreto, este anillo tiene la estructura

$$t_q \cong \bigoplus_{k=0}^{127} \mathbb{Z}_q[X]/(X^2 - \zeta^{2^{\text{BitRev7}(k)+1}}). \quad (4.10)$$

844 Así, la representación de  $\text{NTT} F \in t_q$  de un polinomio  $F \in R_q$  es el vector que consta de los  
 845 correspondientes residuos de grado uno:

$$F = F_{\text{modificación}}(X^2 - \zeta^{2^{\text{BitRev7}(0)+1}}), \dots, F_{\text{modificación}}(X^2 - \zeta^{2^{\text{BitRev7}(127)+1}}). \quad (4.11)$$

846 En los algoritmos siguientes,  $F$  se almacena como una matriz de 256 números enteros módulo  $q$ . Específicamente,

$$F_{\text{modificación}}(X^2 - \zeta^{2^{\text{BitRev7}(j)+1}}) = F[2j] + F[2j+1]X.$$

847 para  $j$  de 0 a 127.

---

#### Algoritmo 8 $\text{NTT}(F)$

---

*Calcula la representación NTT  $f$  del polinomio  $f$  dado  $\in R_q$ .*

Aporte: formación  $F \in \mathbb{Z}_{256}^q$

▷ los coeficientes del polinomio de entrada

Producción: formación  $F \in \mathbb{Z}_{256}^q$

▷ los coeficientes del NTT del polinomio de entrada

```

1:  $F \leftarrow F$ 
2:  $k \leftarrow 1$ 
3: para ( $len \leftarrow 128; len \geq 2; len \leftarrow len/2$ )
4:   para ( $comenzar \leftarrow 0; inicio < 256; comenzar \leftarrow comenzar + 2 \cdot len$ )
5:      $zeta \leftarrow \zeta^{2^{\text{BitRev7}(k)} \text{modificación } q}$ 
6:      $k \leftarrow k + 1$ 
7:     para ( $j \leftarrow comenzar; j < inicio + len; j++$ )
8:        $t \leftarrow zeta \cdot F[j + len]$ 
9:        $F[j + len] \leftarrow F[j] - t$ 
10:       $F[j] \leftarrow t$  fin para
11:
12:   fin para
13: fin para
14: devolver  $F$ 
```

▷ pasos 8-10 módulo hecho  $q$

848  
 849 Los algoritmos ML-KEM NTT. Un algoritmo para la  $\text{NTT}$  se describe en Algoritmo 8. Un algoritmo para el  
 850  $\text{NTT}$  inverso se describe en Algoritmo 9. Estos dos algoritmos están sobrecargados en este estándar.  
 851 Primero, representan la transformación utilizada para mapear elementos de  $R_q$  a elementos  
 852 de  $t_q$  (usando  $\text{NTT}$ ) y viceversa (usando  $\text{NTT}^{-1}$ ). En segundo lugar, representan la transformación  
 853 coordinada de estructuras sobre esos anillos; Específicamente, asignan matrices/vectores con  
 854 entradas en  $R_q$  a matrices/vectores con entradas en  $t_q$  (usando  $\text{NTT}$ ) y viceversa (usando  $\text{NTT}^{-1}$ ).



---

**Algoritmo 9**  $\text{NTT}_{-1}(F)$ 


---

*Calcula el polinomio  $f \in R_q$  correspondiente a la representación NTT dada  $f \in t_q$ .*

Aporte: formación  $F \in \mathbb{Z}_{256}^q$

▷ los coeficientes de representación NTT de entrada

Producción: formación  $F \in \mathbb{Z}_{256}^q$

▷ los coeficientes del NTT inverso de la entrada

```

1:  $F \leftarrow f$                                 ▷ calculará en el lugar en una copia de la matriz de entrada
2:  $k \leftarrow 127$ 
3: para ( $len \leftarrow 2; len \leq 128; len \leftarrow 2 \cdot len$ )
4:   para ( $comenzar \leftarrow 0; inicio < 256; comenzar \leftarrow comenzar + 2 \cdot len$ )
5:      $zeta \leftarrow \zeta_{\text{BitRev}(k)} \text{modificación } q$ 
6:      $k \leftarrow k - 1$ 
7:     para ( $j \leftarrow comenzar; j < inicio + len; j++$ )
8:        $t \leftarrow F[j]$ 
9:        $F[j] \leftarrow t + F[j + len]$                                 ▷ pasos 9-10 módulo hecho  $q$ 
10:       $F[j + len] \leftarrow zeta \cdot (F[j + len] - t) \text{ fin}$ 
11:     para
12:   fin para
13: fin para
14:  $F \leftarrow F \cdot 3303 \text{ mod. } q$                                 ▷ multiplica cada entrada por  $3303 \equiv 128^{-1} \text{modificación } q$ 
15: devolver  $F$ 

```

---

### 855 4.3.1 Multiplicación en el Dominio NTT

856 Como se discutió en la Sección 2.4, suma y multiplicación escalar de elementos de  $t_q$  es sencillo: se puede  
 857 hacer usando las correspondientes operaciones aritméticas de coordenadas en las matrices de coeficientes.  
 858 Esta sección describe cómo realizar la operación del anillo restante (es decir, multiplicación en  $t_q$ ).

859 Recordar de (4.11) eso  $F \in t_q$  es un vector de polinomios cuadráticos de módulo de residuo uno de grado 128.  
 860 Algebraicamente, multiplicación en el anillo  $t_q$  consiste en una multiplicación independiente en cada una de  
 861 las 128 coordenadas con respecto al módulo cuadrático de esa coordenada. Específicamente, el  $i$ -ésima  
 862 coordenada en  $t_q$  del producto  $\hat{h} = F \times_{t_q} \text{gramo}$  está determinado por el cálculo

$$\hat{h}[2i] + \hat{h}[2i+1]X = (F[2i] + F[2i+1]X)(\text{gramo}[2i] + \text{gramo}[2i+1]X) \text{modificación } (X^2 - \zeta_{2^{\text{BitRev}(i)+1}}). \quad (4.12)$$

863 Por tanto, se puede calcular el producto de dos elementos de  $t_q$  usando el algoritmo **Multiplicar NTT**  
 864 (Algoritmo 10). Tenga en cuenta que **Multiplicar NTT** usa **BaseCaseMultiplicar** (Algoritmo 11) como una  
 865 subrutina. Como se discutió en la Sección 2.4, **Multiplicar NTT** permite realizar operaciones aritméticas  
 866 algebraicas lineales con matrices y vectores con entradas en  $t_q$ .

---

**Algoritmo 10** **Multiplicar NTT**( $f, g$ )
 

---

*Calcula el producto (en el anillo  $T_q$ ) de dos representaciones de NTT.*

Aporte: Dos matrices  $F \in \mathbb{Z}_{256}^{64}$  y  $g \in \mathbb{Z}_{256}^{64}$ . ▷ los coeficientes de dos representaciones NTT

Producción: Una matriz  $\hat{h} \in \mathbb{Z}_{256}^{64}$ . ▷ los coeficientes del producto de las entradas

```

1: para ( $i \leftarrow 0$ ;  $y_0 < 128$ ;  $i++$ )
2:   ( $\hat{h}[2i], \hat{h}[2i+1]$ )  $\leftarrow$  BaseCaseMultiplicar( $F[2i], F[2i+1], g[2i], g[2i+1], \zeta_{2^{\text{BitRev}(i)+1}}$ )
3: fin para
4: devolver  $\hat{h}$ 

```

---



---

**Algoritmo 11** **BaseCaseMultiplicar**( $a_0, a_1, b_0, b_1, y$ )
 

---

*Calcula el producto de dos polinomios de grado uno con respecto a un módulo cuadrático.*

Aporte:  $a_0, a_1, b_0, b_1 \in \mathbb{Z}_q$ . ▷ los coeficientes de  $a_0 + a_1X$  y  $b_0 + b_1X$

Aporte:  $y \in \mathbb{Z}_q$ . Producción: ▷ el módulo es  $X^2 - y$

$C_0, C_1 \in \mathbb{Z}_q$ . ▷ los coeficientes del producto de los dos polinomios

```

1:  $C_0 \leftarrow a_0 \cdot b_0 + a_1 \cdot b_1 \cdot y$  ▷ pasos 1-2 módulo hecho  $q$ 
2:  $C_1 \leftarrow a_0 \cdot b_1 + a_1 \cdot b_0$ 
3: devolver  $C_0, C_1$ 

```

---

## 867 5. El esquema de componentes K-PKE

868 Esta sección describe el esquema de componentes K-PKE. Como se discutió en la Sección3.3, K-PKE es no  
 869 aprobado para su uso de forma independiente. Sirve sólo como una colección de subrutinas para su uso en  
 870 los algoritmos delaprobadoesquema ML-KEM, como se describe en la Sección6.

871 K-PKE consta de tres algoritmos:

872 1. Generación de claves (K-PKE.Generación de claves);

873 2. Cifrado (K-PKE.cifrar);

874 3. Descifrado (K-PKE.Descifrar).

875 Cuando se crea una instancia de K-PKE como parte de ML-KEM, K-PKE hereda el conjunto de parámetros  
 876 seleccionado para ML-KEM. Cada conjunto de parámetros especifica valores numéricos para cada parámetro.  
 877 Mientras  $n$  es siempre 256 y  $q$  es siempre 3329, los valores de los parámetros restantes  $k, \eta_1, \eta_2, d, t_u, y, d_w$  varían  
 878 entre los tres conjuntos de parámetros. Los parámetros individuales y los conjuntos de parámetros se describen  
 879 en el capítulo7.

880 Los algoritmos de esta sección no realizan ninguna validación de entrada. Esto se debe a que sólo se invocan  
 881 como subrutinas de los principales algoritmos ML-KEM. Los algoritmos de ML-KEM realizan la validación de  
 882 entradas según sea necesario; también garantizan que todas las entradas a los algoritmos K-PKE (invocadas  
 883 como subrutinas) serán válidas.

884 Cada uno de los algoritmos de K-PKE a continuación va acompañado de una breve descripción informal en  
 885 texto. Para simplificar, esta descripción está escrita en términos de vectores y matrices cuyas entradas son  
 886 elementos de  $R_q$ . En el algoritmo real, la mayoría de los cálculos ocurren en el dominio NTT para mejorar la  
 887 eficiencia de la multiplicación. Los vectores y matrices relevantes tendrán entonces entradas en  $t_q$ . Aritmética  
 888 algebraica lineal con tales vectores y matrices (ver, por ejemplo, línea19 deK-PKE.Generación de claves) se  
 889 realiza como se describe en las Secciones2.4y4.3.1. La clave de cifrado y descifrado de K-PKE también se  
 890 almacena en formato NTT.

### 891 5.1 Generación de claves K-PKE

892 El algoritmo de generación de claves.K-PKE.Generación de clavesde K-PKE (Algoritmo12) no recibe información,  
 893 requiere aleatoriedad y genera una clave de cifrado  $pk_{KEM}$  y una clave de descifrado  $sk_{KEM}$ . Desde el punto de vista  
 894 típico del cifrado de clave pública, la clave de cifrado puede hacerse pública, mientras que la clave de descifrado y  
 895 la aleatoriedad deben permanecer privadas. Este será el caso también en el contexto de esta norma. De hecho, la  
 896 clave de cifrado de K-PKE servirá como clave de encapsulación de ML-KEM (verML-KEM.Generación de clavesa  
 897 continuación) y por lo tanto puede hacerse público; mientras tanto, la clave de descifrado y la aleatoriedad deK-  
 898 PKE.Generación de clavesdeben permanecer privados ya que se pueden usar para realizar la decapsulación en ML-  
 899 KEM.

900

901 Descripción informal.La clave de descifrado deK-PKE.Generación de claveses una longitud- $k$ vectorde elementos  
 902 de  $R_q$ , es decir,  $s \in R^k_q$ . Mas o menos,  $s$  es un conjunto de variables secretas, mientras que la clave de cifrado es un  
 903 colección de ecuaciones lineales "ruidosas"  $(A, e)$  en las variables secretas  $s$ . Las filas de la matriz  $A$   
 904 Forme los coeficientes de la ecuación. Esta matriz se genera pseudoaleatoriamente usando  $x$  of, con solo la  
 905 semilla almacenada en la clave de cifrado. El secreto  $s$  y el "ruido"  $e$  se toman muestras de la

---

 Algoritmo 12 [K-PKE.Generación de claves\(\)](#)


---

*Genera una clave de cifrado y una clave de descifrado correspondiente.*

Producción: Clave de encriptación  $ek_{PKE} \in \mathbb{B}^{384k+32}$ .

Producción: clave de descifrado  $dk_{PKE} \in \mathbb{B}^{384k}$ .

```

1:  $d \leftarrow \text{psB}_{32}$  ▷ des de 32 bytes aleatorios (consulte la Sección 3.3)
2:  $(\rho, \sigma) \leftarrow \text{GRAMQ}(d)$  ▷ expandirse a dos semillas pseudoaleatorias de 32 bytes
3:  $norte \leftarrow 0$ 
4: para  $(i \leftarrow 0; yo < k; i++)$  ▷ generar matriz  $\in (\mathbb{Z}_{256})^{k \times k}$ 
5:   para  $(j \leftarrow 0; j < k; j++)$ 
6:      $A[jo, j] \leftarrow \text{MuestraNTT}(\text{XOF}(\rho, yo, j))$  ▷ cada entrada de uniforme en el dominio NTT
7:   fin para
8: fin para
9: para  $(i \leftarrow 0; yo < k; i++)$  ▷ generar  $s \in (\mathbb{Z}_{256})^k$ 
10:   $s[j] \leftarrow \text{MuestraPolyCBD}_{\eta_1}(\text{PRF}_{\eta_1}(\sigma, norte))$  ▷  $s[j] \in \mathbb{Z}_{256}$  muestreado de CBD
11:   $norte \leftarrow norte + 1$ 
12: fin para
13: para  $(i \leftarrow 0; yo < k; i++)$  ▷ generar  $mi \in (\mathbb{Z}_{256})^k$ 
14:   $mi[j] \leftarrow \text{MuestraPolyCBD}_{\eta_1}(\text{PRF}_{\eta_1}(\sigma, norte))$  ▷  $mi[j] \in \mathbb{Z}_{256}$  muestreado de CBD
15:   $norte \leftarrow norte + 1$ 
dieciséis: fin para
17:  $S \leftarrow \text{NTT}(s)$  ▷ NTT se ejecuta  $k$  veces (una vez por cada coordenada des)
18:  $mi \leftarrow \text{NTT}(mi)$  ▷ NTT se ejecuta  $k$  veces
19:  $\hat{t} \leftarrow A \hat{s} + \hat{e}$  ▷ sistema lineal ruidoso en el dominio NTT
20:  $ek_{PKE} \leftarrow \text{Código de bytes}_{12}(\hat{t}) \parallel \rho$  ▷ Código de bytes12 se ejecuta  $k$  veces; incluir semilla para
21:  $dk_{PKE} \leftarrow \text{Código de bytes}_{12}(s)$  ▷ Código de bytes12 se ejecuta  $k$  veces
22: devolver  $(ek_{PKE}, dk_{PKE})$ 

```

---

906 distribución binomial centrada usando aleatoriedad expandida desde una semilla vía PRF. Una vez  
 907 Ays y mise generan, el cálculo de la parte final  $t = \text{Como} + e$  de la clave de cifrado tiene lugar.

908 En [K-PKE.Generación de claves](#), la elección del conjunto de parámetros afecta la longitud del secretos (a través del  
 909 parámetro  $k$ ) y, como consecuencia, los tamaños del vector de ruido.  $mi$  y la matriz pseudoaleatoria  $A$ . La elección del  
 910 conjunto de parámetros también afecta a la distribución del ruido (a través del parámetro  $\eta_1$ ) utilizado para muestrear las  
 911 entradas  $des$  y  $mi$ .

## 912 5.2 Cifrado K-PKE

913 El algoritmo de cifrado [K-PKE.cifrar](#) de K-PKE (Algoritmo 13) toma una clave de cifrado  $ek_{PKE}$  y un texto plano  
 914  $metro$  como entrada, requiere aleatoriedad  $r$  y genera un texto cifrado  $C$ . Si bien muchos algoritmos  
 915 especificados en este documento requieren aleatoriedad, sólo la descripción de [K-PKE.cifrar](#) interpreta esta  
 916 aleatoriedad como parte de la entrada. Esto se debe a que ML-KEM necesitará invocar [K-PKE.cifrar](#) con una  
 917 elección específica de aleatoriedad (ver Algoritmo [dieciséis](#) para detalles).

918

919 Descripción informal.el algoritmo **K-PKE.cifrar** comienza extrayendo el vector  $t$  y la semilla de la clave de  
 920 cifrado. Luego la semilla se expande para regenerar la matriz  $A$ , de la misma manera que se hizo en **K-**  
 921 **PKE.Generación de claves**. Si  $t$  y  $A$  se derivan correctamente de una clave de cifrado producida por **K-PKE.**  
 922 **Generación de claves**, entonces son iguales a sus valores correspondientes en **K-PKE.Generación de**  
 923 **claves**.

---

### Algoritmo 13 **K-PKE.cifrar**( $ek_{PKE}, \text{señor}$ )

---

Utiliza la clave de cifrado para cifrar un mensaje de texto sin formato utilizando la aleatoriedad  $r$ .

Aporte: Clave de encriptación  $ek_{PKE} \in \mathbb{B}^{384k+32}$ .

Aporte: mensaje  $metro \in \mathbb{B}^{32}$ .

Aporte: aleatoriedad del cifrador  $r \in \mathbb{B}^{32}$ .

Producción: texto cifrado  $C \in \mathbb{B}^{32(d_{tuk} + d_v)}$ .

```

1:  $norte \leftarrow 0$ 
2:  $\hat{r} \leftarrow \text{Decodificación de bytes}_{12}(ek_{PKE}[0: 384k])$ 
3:  $p \leftarrow ek_{PKE}[384k: 384k+32]$ 
4: para ( $i \leftarrow 0; yo < k; i++$ )
5:   para ( $j \leftarrow 0; j < k; j++$ )
6:      $A[yo, j] \leftarrow \text{MuestraNTT}(\text{XOF}(p, yo, j))$  fin
7:   para
8: fin para
9: para ( $i \leftarrow 0; yo < k; i++$ )
10:    $r[i] \leftarrow \text{MuestraPolyCBD}_{\eta_1}(\text{PRF}_1(norte, \eta_1(r, norte)))$ 
11:    $norte \leftarrow norte + 1$ 
12: fin para
13: para ( $i \leftarrow 0; yo < k; i++$ )
14:    $mi_1[i] \leftarrow \text{MuestraPolyCBD}_{\eta_2}(\text{PRF}_2(norte, \eta_2(r, norte)))$ 
15:    $norte \leftarrow norte + 1$ 
dieciséis: fin para
17:  $mi_2 \leftarrow \text{MuestraPolyCBD}_{\eta_2}(\text{PRF}_2(norte, \eta_2(r, norte)))$ 
18:  $\hat{r} \leftarrow \text{NTT}(\hat{r})$ 
19:  $tu \leftarrow \text{NTT}^{-1}(A_T \hat{r}) + mi_1$ 
20:  $\mu \leftarrow \text{Descomprimir}_1(\text{Decodificación de bytes}_1(metro))$ 
21:  $v \leftarrow \text{NTT}^{-1}(\hat{t} \hat{r}) + mi_2 + \mu$ 
22:  $C_1 \leftarrow \text{Código de bytes}_{\alpha_U}(\text{Comprimir}_{\alpha_U}(v))$ 
23:  $C_2 \leftarrow \text{Código de bytes}_{\alpha_V}(\text{Comprimir}_{\alpha_V}(v))$ 
24: devolver  $C \leftarrow (C_1 || C_2)$ 
```

$\triangleright$  extraer semilla de 32 bytes de  $ek_{PKE}$   
 $\triangleright$  regenerar matriz  $A \in (\mathbb{Z}_{256})^{k \times k}$   
 $\triangleright$  generar  $r \in (\mathbb{Z}_{256})^k$   
 $\triangleright r[i] \in \mathbb{Z}_{256}$  muestreado de CBD  
 $\triangleright$  generar  $mi_1 \in (\mathbb{Z}_{256})^k$   
 $\triangleright mi_1[i] \in \mathbb{Z}_{256}$  muestreado de CBD  
 $\triangleright$  muestrear  $mi_2 \in \mathbb{Z}_{256}$  del CBD  
 $\triangleright$  NTT se ejecuta  $k$  veces  
 $\triangleright$  NTT-se<sup>1</sup> ejecuta  $k$  veces  
 $\triangleright$  codificar texto plano  $metro$  en polinomio  $v$ .  
 $\triangleright$  Código de bytes  $\alpha_U$  se ejecuta  $k$  veces

---

924 Recuerde de la descripción de la generación de claves que el par  $(A, t = Como + e)$  puede considerarse como un  
 925 sistema de ecuaciones lineales ruidosas en las variables secretas  $s$ . Se puede generar una ecuación lineal  
 926 ruidosa adicional en las mismas variables secretas, sin saber  $s$  -eligiendo una combinación lineal aleatoria de  
 927 las ecuaciones ruidosas del sistema  $(A, t)$ . Luego se puede codificar información en el "término constante" (es  
 928 decir, la entrada que es una combinación lineal de entradas de  $t$ ) de tal ecuación combinada. Esta información  
 929 puede luego ser descifrada por una parte en posesión de  $s$ . Por ejemplo, se podría codificar un solo bit  
 930 decidiendo si alterar significativamente o no el término constante,

931 generando así una ecuación casi correcta (correspondiente al valor del bit descifrado de 0) o una ecuación que  
 932 dista mucho de ser correcta (correspondiente al valor del bit descifrado de 1). En el caso de K-PKE, el término  
 933 constante es un polinomio con 256 coeficientes, por lo que se puede codificar más información: un bit en cada  
 934 coeficiente.

935 Para tal fin, **K-PKE.cifrar** procede generando un vector  $r \in R_k$  y términos de ruido  $m_1 \in R_k$  y  
 936  $m_2 \in R_q$ , todos los cuales se muestrean a partir de la distribución binomial centrada utilizando pseudoaleatoriedad  
 937 expandida (a través de PRF) de la aleatoriedad de entrada  $r$ . Luego se calcula la "nueva ecuación ruidosa" que (hasta  
 938 algunos detalles) se calcula mediante  $(tu, v) \leftarrow (A \cdot r + e_1, t \cdot r + m_2)$ . Una codificación apropiada  $\mu$  del mensaje de entrada  
 939  $metro$  luego se agrega al término  $t \cdot r + m_2$ . Finalmente, la pareja  $(tu, v)$  se comprime, se serializa en una matriz de  
 940 bytes y se genera como texto cifrado.

### 941 5.3 Descifrado K-PKE

942 El algoritmo de descifrado **K-PKE.Descifrar** de K-PKE (Algoritmo 14) toma una clave de descifrado  $dk_{PKE}$  y un  
 943 texto cifrado  $C$  como entrada, no requiere aleatoriedad y genera un texto sin formato  $metro$ .

944  
 945 Descripción informal. el algoritmo **K-PKE.Descifrar** comienza calculando la "ecuación ruidosa"  $(tu, v)$  subyacente  
 946 al texto cifrado  $C$ , como se comenta en la descripción de **K-PKE.cifrar**. Aquí uno puede pensar en  $tu$  como los  
 947 coeficientes de la ecuación y  $v$  como término constante. Recuerde que la clave de descifrado  $dk_{PKE}$  contiene el  
 948 vector de variables secretas  $s$ . Por tanto, el algoritmo de descifrado puede utilizar la clave de descifrado para  
 949 calcular el término constante verdadero  $v = s \cdot tu$  y luego calcular  $v - v$ . El algoritmo de descifrado finaliza  
 950 decodificando el mensaje de texto plano  $metro$  de  $v - v$  y salida  $metro$ .

---

#### Algoritmo 14 **K-PKE.Descifrar**(no sé<sub>PKE</sub>, $C$ )

---

Utiliza la clave de descifrado para descifrar un texto cifrado.

Aporte: clave de descifrado  $dk_{PKE} \in \mathbb{B}^{384k}$ .

Aporte: texto cifrado  $C \in \mathbb{B}^{32(dtuk+dv)}$ .

Producción: mensaje  $metro \in \mathbb{B}^{32}$ .

1:  $C_1 \leftarrow C[0: 32dtuk]$

2:  $C_2 \leftarrow C[32dtuk: 32(dtuk+dv)]$

3:  $tu \leftarrow \text{Descomprimir}_d(\text{Decodificación de bytes}_d(C_1))$

▷ Decodificación de bytes<sub>d</sub>  $tu$  invocado  $k$  veces

4:  $v \leftarrow \text{Descomprimir}_d(\text{Decodificación de bytes}_d(C_2))$

5:  $s \leftarrow \text{Decodificación de bytes}_{12}(\text{no sé}_{PKE})$

6:  $w \leftarrow v - NTT^{-1}(s \cdot NTT(tu))$

▷  $NTT^{-1}$  y  $NTT$  invocado  $k$  veces

7:  $metro \leftarrow \text{Código de bytes}_1(\text{Comprimir}_1(w))$

▷ decodificar texto plano  $metro$  del polinomio  $v$

8: devolver  $metro$

---

## 951 6. El mecanismo de encapsulación de claves ML-KEM

952 El esquema ML-KEM consta de tres algoritmos:

953 1. Generación de claves ([ML-KEM.Generación de claves](#))

954 2. Encapsulación ([ML-KEM.encapsula](#))

955 3. Decapsulación ([ML-KEM.decápsulas](#))

956 Para crear una instancia de ML-KEM, se debe seleccionar un conjunto de parámetros, cada uno de los cuales está  
 957 asociado con una compensación particular entre seguridad y rendimiento. Los tres conjuntos de parámetros  
 958 posibles se denominan ML-KEM-512, ML-KEM-768 y ML-KEM-1024 y se describen en detalle en la [Tabla 2](#) de [Sección 7](#)  
 959 . Cada conjunto de parámetros asigna valores numéricos específicos a los parámetros individuales  $norte$ ,  $q$ ,  $k$ ,  $\eta_1$ ,  $\eta_2$ ,  $d$   
 960  $tu$ , y  $dv$ . Mientras  $norte$  es siempre 256 y  $q$  es siempre 3329, los parámetros restantes varían entre los tres conjuntos  
 961 de parámetros. Implementadores deberán asegurarse de que los tres algoritmos de ML-KEM enumerados  
 962 anteriormente solo se invoquen con un conjunto de parámetros válido y que este conjunto de parámetros se  
 963 seleccione de manera adecuada para la aplicación deseada. Además, los algoritmos [ML-KEM.encapsula](#) y [ML-KEM.](#)  
 964 [decápsulas](#) requieren validación de las entradas, como se analiza a continuación.

### 965 6.1 Generación de claves ML-KEM

966 El algoritmo de generación de claves [ML-KEM.Generación de claves](#) para ML-KEM (Algoritmo 15) no acepta ninguna  
 967 entrada, requiere aleatoriedad y produce una clave de encapsulación y una clave de decapsulación. Si bien la clave de  
 968 encapsulación se puede hacer pública, la clave de decapsulación debe permanecer privada.

969 Descripción informal. La subrutina central de [ML-KEM.Generación de claves](#) es el algoritmo de generación de  
 970 claves de K-PKE (Algoritmo 12). La clave de encapsulación ML-KEM es simplemente la clave de cifrado de K-  
 971 PKE. La clave de desencapsulación de ML-KEM se compone de la clave de descifrado de K-PKE, la clave de  
 972 encapsulación, un hash de la clave de encapsulación y un valor pseudoaleatorio de 32 bytes. Este valor  
 973 aleatorio se utilizará en el mecanismo de "rechazo implícito" del algoritmo de decapsulación (Algoritmo 17).  
 974  
 975

---

Algoritmo 15 [ML-KEM.Generación de claves](#)()

---

*Genera una clave de encapsulación y una clave de decapsulación correspondiente.*

Producción: Clave de encapsulación  $ek \in \mathcal{B}^{384k+32}$ .

Producción: Clave de decapsulación  $dk \in \mathcal{B}^{768k+96}$ .

1:  $z \leftarrow \text{psB}^{32}$

2:  $(ek_{PKE}, dk_{PKE}) \leftarrow \text{K-PKE.Generación de claves}()$

3:  $ek \leftarrow ek_{PKE}$

4:  $dk \leftarrow (dk_{PKE} \| ek \| h(ek) \| z)$

5: devolver  $(ek, NS)$

---

▷  $z$  es de 32 bytes aleatorios (consulte la [Sección 3.3](#))

▷ ejecutar generación de claves para K-PKE

▷ La clave de encapsulación KEM es solo la clave de cifrado PKE

▷ La clave de descifrado de KEM incluye la clave de descifrado de PKE

## 976 6.2 Encapsulación ML-KEM

977 El algoritmo de encapsulación [ML-KEM.encapsula](#) de ML-KEM (Algoritmo [dieciséis](#)) acepta una clave de encapsulación  
978 como entrada, requiere aleatoriedad y genera un texto cifrado y una clave compartida.

979

980 Validación de entrada. Para validar una entrada determinada  $m$ , [ML-KEM.encapsula](#), realice las siguientes  
981 comprobaciones.

982 1. (*Escriba verificación*). Si  $m$  no es una matriz de bytes de longitud  $384k+32$  por el valor de  $k$  especificado por el conjunto de  
983 parámetros correspondiente, la entrada no es válida.

984 2. (*Verificación de módulo*). Realizar el cálculo  $ek \leftarrow \text{Código de bytes}_{12}(\text{Decodificación de bytes}_{12}(m))$ . Si  $ek \neq m$ ,  
985 la entrada no es válida. (Mira la sección [4.2.1](#).)

986 Si cualquiera de las comprobaciones anteriores declara que la entrada no es válida, entonces [ML-KEM.encapsula](#) no deber ser  
987 realizado con entrada  $m$ . En cambio, los pasos apropiados para la aplicación deber ser llevado a abortar. Si se pasan las dos  
988 comprobaciones anteriores (es decir, ninguna de ellas declara que la entrada no es válida), entonces la entrada es  
989 considerado válido y [ML-KEM.encapsula](#) se puede realizar con entrada  $ek = m$ .

990 Es importante tener en cuenta que el proceso de validación de entrada anterior no garantiza que  $m$  sea una  
991 salida real de [ML-KEM.Generación de claves](#). De hecho, la capacidad de garantizar eso (sin utilizar la clave de  
992 decapsulación) violaría el supuesto de seguridad.

993 Recuerde que, como se discutió en la Sección [3.3](#), las implementaciones solo son necesarias para reproducir  
994 correctamente el comportamiento de entrada-salida de los algoritmos de nivel superior. En el caso de [ML-KEM.encapsula](#),  
995 esto significa que una implementación puede realizar cualquier proceso que sea equivalente a ejecutar las  
996 comprobaciones 1 y 2 anteriores y luego ejecutar el algoritmo [dieciséis](#). (Por ejemplo, la segunda verificación podría  
997 realizarse durante la ejecución de [Decodificación de bytes](#) en línea [2](#) de [K-PKE.cifrar](#).)

---

### Algoritmo 16 [ML-KEM.encapsula](#)( $ek$ )

---

*Utiliza la clave de encapsulación para generar una clave compartida y un texto cifrado asociado.*

Entrada validada: clave de encapsulación  $ek \in \mathcal{B}_{384k+32}$ .

Producción: llave compartida  $k \in \mathcal{B}_{32}$ . Producción: texto

cifrado  $C \in \mathcal{B}_{32(d_{uk}+d_v)}$ .

1:  $metro \xleftarrow{\text{ps}} \mathcal{B}_{32}$

2:  $(k, r) \leftarrow \text{GRAMQ}(metro \| h(ek))$

3:  $C \leftarrow \text{K-PKE.cifrar}(ek, \text{señor})$

4: devolver  $(k, C)$

---

$\triangleright$   $metro$  es de 32 bytes aleatorios (consulte la Sección [3.3](#))

$\triangleright$  derivar clave secreta compartida  $k$  y aleatoriedad  $r$

$\triangleright$  cifrar  $metro$  usando K-PKE con aleatoriedad  $r$

998

999 Descripción informal. La subrutina central de [ML-KEM.encapsula](#) es el algoritmo de cifrado de K-PKE,  
1000 que se utiliza para cifrar un valor aleatorio  $metro$  en un texto cifrado  $C$ . Una copia del secreto  
1001 compartido  $k$  y la aleatoriedad utilizada durante el cifrado se derivan de  $metro$  y la encapsulación

---

<sup>1</sup>En discusiones sobre validación de entradas, la tilde en la notación indica que es posible que la entrada no esté formada correctamente, p.ej.,  $m$  para una entrada clave de encapsulación candidata, a diferencia de  $ek$  para una entrada válida.



1002 llave  $k$  mediante hash. Específicamente,  $h$  es aplicado a  $u$ , y el resultado se concatena con  $m$  y luego  
 1003 hash usando  $GRAMO$ . El algoritmo se completa generando el texto cifrado  $C$ . Y el secreto compartido  $k$ .

### 1004 6.3 Decapsulación ML-KEM

1005 El algoritmo de decapsulación [ML-KEM.decápsulas](#) de ML-KEM (Algoritmo [dieciséis](#)) acepta una clave de  
 1006 decapsulación y un texto cifrado ML-KEM como entrada, no utiliza ninguna aleatoriedad y genera un secreto  
 1007 compartido.

1008  
 1009 Validación de entrada. Para validar un par de entradas determinado  $C_{mi}$  (texto cifrado candidato) y  $d_{mik}$  (clave de  
 1010 decapsulación candidata) a [ML-KEM.decápsulas](#), realice las siguientes comprobaciones.

1011 1. (Verificación del tipo de texto cifrado). Si  $C_{mi}$  no es una matriz de bytes de longitud  $32(d_{tu}k + d_v)$  por los valores de  $d_{tu}$ ,  $d_v$ , y  $k$   
 1012 especificado por el conjunto de parámetros correspondiente, la entrada no es válida.

1013 2. (Verificación del tipo de clave de decapsulación). Si  $d_{mik}$  no es una matriz de bytes de longitud  $768k + 96$  por el valor de  $k$   
 1014 especificado por el conjunto de parámetros correspondiente, la entrada no es válida.

1015 Si cualquiera de las comprobaciones anteriores declara que la entrada no es válida, entonces [ML-KEM.decápsulas](#) no debe  
 1016 realizarse con entrada  $(C_{mi}, d_{mik})$ . En cambio, los pasos apropiados para la aplicación deberán ser llevado a abortar. Si  
 1017 ambas comprobaciones pasan (es decir, ninguna declara que la entrada no sea válida), entonces la entrada es  
 1018 considerado válido y [ML-KEM.decápsulas](#) se puede realizar con entrada  $(C, dk) = (C_{mi}, d_{mik})$ .

1019 Para algunas aplicaciones, validación adicional de la clave de decapsulación  $d_{mik}$  puede ser apropiado. Por ejemplo, en los  
 1020 casos en que  $d_{mik}$  fue generado por un tercero, los usuarios pueden querer asegurarse de que los cuatro  
 1021 componentes de  $d_{mik}$  tienen la relación correcta entre sí, como en línea 4 de [ML-KEM.Generación de claves](#). En  
 1022 todos los casos, los implementadores deberán validar las entradas para [ML-KEM.decápsulas](#) de manera  
 1023 adecuada para su aplicación.

1024  
 1025 Descripción informal. El algoritmo [ML-KEM.decápsulas](#) comienza analizando los componentes de la clave de  
 1026 decapsulación  $dk$  de ML-KEM. Estos componentes son un par (clave de cifrado, clave de descifrado) para K-  
 1027 PKE, un valor hash  $h$  y un valor aleatorio  $z$ . Luego, la clave de descifrado de K-PKE se utiliza para descifrar el  
 1028 texto cifrado de entrada  $C$ . Para obtener un texto plano  $m$ : Luego, el algoritmo de decapsulación vuelve a  
 1029 cifrar  $m$  y calcula una clave secreta compartida candidata  $k'$  de la misma manera que debería haberse  
 1030 hecho en encapsulación. Específicamente,  $k$  y la aleatoriedad del cifrador  $r$  se calculan mediante hash  $m$  y  $r$   
 1031 la clave de cifrado de K-PKE, y un texto cifrado  $C$  se genera cifrando  $m$  usando  $r$ . Finalmente, la decapsulación comprueba si el texto cifrado resultante  $C'$  coincide con  
 1032 el texto cifrado proporcionado  $C$ . Si no es así, el algoritmo realiza un "rechazo implícito": el valor de  $k$  se  
 1033 cambia a un hash de  $C$  junto con el valor aleatorio  $z$  almacenado en la clave secreta ML-KEM (consulte la  
 1034 discusión sobre fallas de decapsulación en la Sección 3.2). En cualquier caso, la decapsulación genera la clave  
 1035 secreta compartida resultante  $k$ .

1037

1038

---

**Algoritmo 17** ML-KEM.decapículas( $C, NS$ )
 

---

Utiliza la clave de decapsulación para generar una clave compartida a partir de un texto cifrado.

Entrada validada: texto cifrado  $C \in \mathcal{B}^{32(d_{tk} + d_v)}$ . Entrada

validada: clave de decapsulación  $dk \in \mathcal{B}^{768k+96}$ . Producción:

llave compartida  $k \in \mathcal{B}^{32}$ .

1:  $dk_{PKE} \leftarrow dk[0: 384k]$

▷ extraer (de la clave de descodificación de KEM) la clave de descifrado de PKE

2:  $ek_{PKE} \leftarrow dk[384k: 768k+32]$

▷ extraer la clave de cifrado PKE

3:  $h \leftarrow dk[768k+32: 768k+64]$

▷ extraer el hash de la clave de cifrado PKE

4:  $z \leftarrow dk[768k+64: 768k+96]$

▷ extraer el valor de rechazo implícito

5:  $metro' \leftarrow \text{K-PKE.Descifrar}(\text{no } \text{SÉPKE}, C)$

▷ descifrar texto cifrado

6:  $(k', r) \leftarrow \text{GRAMQ}(metro' \| h)$

7:  $K \leftarrow \mathcal{J}(z \| C, 32)$

8:  $C' \leftarrow \text{K-PKE.cifrar}(ek_{PKE}, metro', r)$

▷ volver a cifrar utilizando la aleatoriedad derivada  $r'$

9: si  $C \neq C'$  entonces

10:  $k' \leftarrow K$

▷ si los textos cifrados no coinciden, "rechazar implícitamente"

11: terminara si

12: devolver  $k'$

---

1039

1040

## 1041 7. Conjuntos de parámetros

1042 ML-KEM está equipado con tres conjuntos de parámetros. Cada uno de los tres conjuntos de parámetros se  
 1043 compone de cinco parámetros individuales:  $k, \eta_1, \eta_2, dtu$ , y  $dv$ . También hay dos constantes:  $norte=256$  y  $q=3329$ .  
 1044 La siguiente es una descripción breve e informal de los roles que desempeñan los parámetros variables en  
 1045 los algoritmos de K-PKE (y por lo tanto en ML-KEM). Mira la sección 5 para detalles.

1046 • El parámetro  $k$  determina las dimensiones de los vectores  $sym$  en K-PKE. Generación de claves,  
 1047 así como las dimensiones de la matriz  $\hat{A}$  y los vectores  $re_1$ ,  $ym_1$  en K-PKE.cifrar.

1048 • El parámetro  $\eta_1$  es necesario para especificar la distribución para generar los vectores  $sy$  en  
 1049 K-PKE. Generación de claves y el vector  $ren$  en K-PKE.cifrar.

1050 • El parámetro  $\eta_2$  es necesario para especificar la distribución para generar los vectores  $sm_1$   
 1051 y  $m_2$  en K-PKE.cifrar.

1052 • Los parámetros  $dtu$  y  $dv$  sirven como parámetros y entradas para las funciones **Comprimir**,  
 1053 **Descomprimir**, **Código de bytes**, y **Decodificación de bytes** en K-PKE.cifrar y K-PKE.Descifrar.

1054 Esta norma aprueba los conjuntos de parámetros que figuran en la tabla 2. Cada conjunto de parámetros está asociado  
 1055 con una fuerza de seguridad requerida para la generación de aleatoriedad (consulte la Sección 3.3). Los tamaños de las  
 1056 claves ML-KEM y los textos cifrados para cada conjunto de parámetros se resumen en la Tabla 3.

	<i>norte</i>	<i>q</i>	<i>k</i>	$\eta_1$	$\eta_2$	<i>dtu</i>	<i>dv</i>	fuerza RBG requerida (bits)
ML-KEM-512	256	3329	2	3	2	10	4	128
ML-KEM-768	256	3329	3	2	2	10	4	192
ML-KEM-1024	256	3329	4		2	2	11 5	256

Tabla 2. Conjuntos de parámetros aprobados para ML-KEM

	clave de encapsulación	clave de decapsulación	texto cifrado	clave secreta compartida
ML-KEM-512	800	1632	768	32
ML-KEM-768	1184	2400	1088	32
ML-KEM-1024	1568	3168	1568	32

Tabla 3. Tamaños (en bytes) de claves y textos cifrados de ML-KEM

1057 También se puede decir que el nombre de un conjunto de parámetros denota un KEM (sin parámetros). Específicamente,  
 1058 ML-KEM-*X* se puede utilizar para indicar el KEM libre de parámetros que resulta de crear una instancia del esquema ML-  
 1059 KEM con el conjunto de parámetros ML-KEM-*X*.

1060 Los tres conjuntos de parámetros incluidos en la Tabla 2 fueron diseñados para cumplir con ciertas categorías de  
 1061 resistencia de seguridad definidas por NIST en su convocatoria de propuestas original [4,18]. Estas categorías de fortaleza  
 1062 de seguridad se explican con más detalle en el Apéndice A.

1063 Con este enfoque, la fortaleza de la seguridad no se describe con un solo número, como “128 bits de seguridad”. En cambio, se  
 1064 afirma que cada conjunto de parámetros ML-KEM es al menos tan seguro como un conjunto de parámetros genérico.

1065 cifrado de bloque con un tamaño de clave prescrito o una función hash genérica con una longitud de salida  
1066 prescrita. Más precisamente, se afirma que los recursos computacionales necesarios para descifrar ML-KEM son  
1067 mayores o iguales a los recursos computacionales necesarios para descifrar el cifrado de bloque o la función hash,  
1068 cuando estos recursos computacionales se estiman utilizando cualquier modelo de cálculo realista. Los diferentes  
1069 modelos de cálculo pueden ser más o menos realistas y, en consecuencia, conducir a estimaciones más o menos  
1070 precisas de la solidez de la seguridad. Algunos modelos comúnmente estudiados se analizan en [19].  
1071

1072 Concretamente, se afirma que ML-KEM-512 está en la categoría de seguridad 1, ML-KEM-768 se afirma que está en  
1073 la categoría de seguridad 3 y ML-KEM-1024 se afirma que está en la categoría de seguridad 5. Para una discusión  
1074 adicional sobre la fortaleza de seguridad de los criptosistemas basados en MLWE, consulte [4].  
1075

1076 Seleccionar un conjunto de parámetros apropiado. Al establecer inicialmente protecciones criptográficas para los datos, se  
1077 debe utilizar el conjunto de parámetros más sólido posible. Debería ser usado. Esto tiene una serie de ventajas, incluida la  
1078 reducción de la probabilidad de costosas transiciones a conjuntos de parámetros de mayor seguridad en el futuro. Al  
1079 mismo tiempo, cabe señalar que algunos conjuntos de parámetros pueden tener efectos adversos en el rendimiento de la  
1080 aplicación correspondiente (por ejemplo, el algoritmo puede ser inaceptablemente lento).

1081 NIST recomienda utilizar ML-KEM-768 como conjunto de parámetros predeterminado, ya que proporciona un gran  
1082 margen de seguridad a un costo de rendimiento razonable. En los casos en los que esto no sea práctico o cuando se  
1083 requiera una seguridad aún mayor, se pueden utilizar otros conjuntos de parámetros.

## 1084Referencias

- 1085 [1] NIST. Publicación especial 800-227: Recomendaciones para mecanismos de encapsulación de claves,  
1086 2024.
- 1087 [2] Elaine B. Barker, Lily Chen, Allen L. Roginsky, Apostol Vassilev y Richard Davis. Recomendación  
1088 para esquemas de establecimiento de claves por pares utilizando criptografía de logaritmos  
1089 discretos. Informe técnico, publicación especial 800-56A Revisión 3, Departamento de Comercio  
1090 de EE. UU., Washington, DC, abril de 2018.
- 1091 [3] Elaine B. Barker, Lily Chen, Allen L. Roginsky, Apostol Vassilev, Richard Davis y Scott Simon.  
1092 Recomendación para el establecimiento de claves por pares utilizando criptografía de  
1093 factorización de enteros. Informe técnico, publicación especial 800-56B Revisión 2,  
1094 Departamento de Comercio de EE. UU., Washington, DC, marzo de 2019.
- 1095 [4] Robert Avanzi, Joppe Bos, Léo Ducas, Eike Kiltz, Tancrede Lepoint, Vadim Lyubashevsky, John M.  
1096 Schanck, Peter Schwabe, Gregor Seiler y Damien Stehlé. Especificaciones del algoritmo CRYSTALS-  
1097 Kyber y documentación de respaldo. Presentación de tercera ronda al proceso de  
1098 estandarización de criptografía poscuántica del NIST, 2020.[https://csrc.nist.gov/projects/post-](https://csrc.nist.gov/projects/post-quantum-cryptography/round-3-submissions)  
1099 [quantum-cryptography/round-3-submissions](https://csrc.nist.gov/projects/post-quantum-cryptography/round-3-submissions).
- 1100 [5] Equipo de presentación de CRYSTALS-Kyber. "Discusión sobre la transformación FO modificada de  
1101 Kyber". Publicación del foro en pqc-forum, disponible en[https://groups.google.com/a/list.nist.gov/g/](https://groups.google.com/a/list.nist.gov/g/pqcforum/c/WFRDI8DqYQ4)  
1102 [pqcforum/c/WFRDI8DqYQ4](https://groups.google.com/a/list.nist.gov/g/pqcforum/c/WFRDI8DqYQ4), 2023.
- 1103 [6] Equipo de presentación de CRYSTALS-Kyber. "Decisiones Kyber, parte 2: Transformación FO".  
1104 Publicación del foro en pqc-forum, disponible en[https://groups.google.com/a/list.nist.gov/g/pqc-](https://groups.google.com/a/list.nist.gov/g/pqcforum/c/C0D3W1KoINy/m/99kIvydoAwAJ)  
1105 [forum/c/C0D3W1KoINy/m/99kIvydoAwAJ](https://groups.google.com/a/list.nist.gov/g/pqcforum/c/C0D3W1KoINy/m/99kIvydoAwAJ), 2023.
- 1106 [7] Instituto Nacional de Normas y Tecnología. Estándar SHA-3: hash basado en permutaciones y  
1107 funciones de salida extensible. (Departamento de Comercio de EE. UU., Washington, DC),  
1108 Publicación de estándares federales de procesamiento de información (FIPS) 202, agosto de  
1109 2015.<https://doi.org/10.6028/NIST.FIPS.202>.
- 1110 [8] Joppe Bos, Léo Ducas, Eike Kiltz, T Lepoint, Vadim Lyubashevsky, John M. Schanck, Peter  
1111 Schwabe, Gregor Seiler y Damien Stehlé. CRYSTALS-Kyber: un KEM basado en celosía de  
1112 módulo seguro CCA. En *Símpoio europeo IEEE sobre seguridad y privacidad 2018 (EuroS&P)*,  
1113 páginas 353–367, 2018.
- 1114 [9] Adeline Langlois y Damien Stehlé. Reducciones del peor de los casos al promedio para celosías de  
1115 módulos. *Diseños, Códigos y Criptografía*, 75(3):565–599, 2015.
- 1116 [10] Oded Regev. Sobre celosías, aprendizaje con errores, códigos lineales aleatorios y criptografía. En *Actas*  
1117 *del trigésimo séptimo simpoio anual ACM sobre teoría de la computación*, STOC '05, páginas 84–93,  
1118 Nueva York, NY, EE. UU., 2005. Asociación de Maquinaria de Computación.
- 1119 [11] Eiichiro Fujisaki y Tatsuaki Okamoto. Integración segura de esquemas de cifrado simétricos y  
1120 asimétricos. *Revista de criptología*, 26:80–101, 2013.

- 1121 [12] Dennis Hofheinz, Kathrin Hövelmanns y Eike Kiltz. Un análisis modular de la transformación  
1122 Fujisaki-Okamoto. En Yael Kalai y Leonid Reyzin, editores, *Teoría de la criptografía*, páginas  
1123 341–371, Cham, 2017. Springer International Publishing.
- 1124 [13] Jonathan Katz y Yehuda Lindell. *Introducción a la criptografía moderna*. Chapman & Hall/CRC,  
1125 tercera edición, 2020.
- 1126 [14] Lirio Chen. Recomendación para la derivación de claves utilizando funciones pseudoaleatorias. (Instituto  
1127 Nacional de Estándares y Tecnología, Gaithersburg, MD), Publicación especial (SP) del NIST 800-108  
1128 Rev. 1, agosto de 2022. <https://doi.org/10.6028/NIST.SP.800-108r1>.
- 1129 [15] Elaine B. Barker y John M. Kelsey. Recomendación para la generación de números aleatorios  
1130 utilizando generadores deterministas de bits aleatorios. (Instituto Nacional de Estándares y  
1131 Tecnología, Gaithersburg, MD), Publicación especial (SP) del NIST 800-90A, Rev. 1, junio de 2015.  
1132 <https://doi.org/10.6028/NIST.SP.800-90Ar1>.
- 1133 [16] Meltem Sönmez Turan, Elaine B. Barker, John M. Kelsey, Kerry A. McKay, Mary L. Baish y Mike  
1134 Boyle. Recomendación para las fuentes de entropía utilizadas para la generación de bits  
1135 aleatorios. (Instituto Nacional de Estándares y Tecnología, Gaithersburg, MD), Publicación  
1136 especial (SP) del NIST 800-90B, enero de 2018. <https://doi.org/10.6028/NIST.SP.800-90B>.
- 1137 [17] Elaine B. Barker, John M. Kelsey, Kerry McKay, Allen Roginsky y Meltem Sönmez Turan.  
1138 Recomendación para construcciones de generadores de bits aleatorios (RBG). (Instituto Nacional  
1139 de Estándares y Tecnología, Gaithersburg, MD), Publicación especial (SP) del NIST 800-90C (Tercer  
1140 borrador público), septiembre de 2022. <https://csrc.nist.gov/publications/detail/sp/800-90c/draft>.  
1141
- 1142 [18] Instituto Nacional de Normas y Tecnología. Requisitos de presentación y criterios de  
1143 evaluación para el proceso de estandarización de la criptografía poscuántica, 2016. [https://](https://csrc.nist.gov/CSRC/media/Projects/Post-Quantum-Cryptography/documents/call-for-proposalsfnal-dec-2016.pdf)  
1144 [csrc.nist.gov/CSRC/media/Projects/Post-Quantum-Cryptography/documents/call-for-](https://csrc.nist.gov/CSRC/media/Projects/Post-Quantum-Cryptography/documents/call-for-proposalsfnal-dec-2016.pdf)  
1145 [proposalsfnal-dec-2016.pdf](https://csrc.nist.gov/CSRC/media/Projects/Post-Quantum-Cryptography/documents/call-for-proposalsfnal-dec-2016.pdf).
- 1146 [19] Gorjan Alagic, Daniel Apon, David Cooper, Quynh Dang, Thinh Dang, John Kelsey, Jacob  
1147 Lichtinger, Yi-Kai Liu, Carl Miller, Dustin Moody, René Peralta, Ray Perlner, Angela Robinson y  
1148 Daniel Smith-Tone. Informe de estado de la tercera ronda del proceso de estandarización de  
1149 la criptografía poscuántica del NIST. Informe técnico NIST Interagencial o Informe interno  
1150 (IR) 8413, Instituto Nacional de Estándares y Tecnología, Gaithersburg, MD, julio de 2022.  
1151
- 1152 [20] Samuel Jaques, Michael Naehrig, Martin Roetteler y Fernando Virdia. Implementación de oráculos  
1153 Grover para búsqueda de claves cuánticas en AES y LowMC. En Anne Canteaut y Yuval Ishai,  
1154 editores, *Avances en Criptología – EUROCRYPT 2020*, páginas 280–310, Cham, 2020. Springer  
1155 International Publishing.
- 1156 [21] Lov K. Grover. Un algoritmo rápido de mecánica cuántica para la búsqueda de bases de datos. En *Actas*  
1157 *del vigésimo octavo simposio anual ACM sobre teoría de la computación*, STOC '96, páginas 212–219,  
1158 Nueva York, NY, EE. UU., 1996. Asociación de Maquinaria de Computación.

## 1159 **Apéndice A: Categorías de resistencia de la seguridad**

1160 El NIST comprende que existen importantes incertidumbres al estimar las fortalezas de seguridad de los  
1161 criptosistemas poscuánticos. Estas incertidumbres provienen de dos fuentes: primero, la posibilidad de que se  
1162 descubran nuevos algoritmos cuánticos, lo que conducirá a nuevos ataques criptoanalíticos; y segundo, nuestra  
1163 capacidad limitada para predecir las características de rendimiento de las futuras computadoras cuánticas, como  
1164 su costo, velocidad y tamaño de memoria.

1165 Para abordar estas incertidumbres, NIST propuso el siguiente enfoque en su convocatoria de propuestas original [18]. En  
1166 lugar de definir la fortaleza de un algoritmo utilizando estimaciones precisas del número de “bits de seguridad”, el NIST  
1167 definió una colección de categorías amplias de fortaleza de seguridad. Cada categoría se define mediante una primitiva de  
1168 referencia comparativamente fácil de analizar, cuya seguridad servirá como base para una amplia variedad de métricas  
1169 que el NIST considera potencialmente relevantes para la seguridad práctica. Se puede crear una instancia de un  
1170 criptosistema determinado utilizando diferentes conjuntos de parámetros para poder encajar en diferentes categorías.  
1171 Los objetivos de esta clasificación son:

1172 • Facilitar comparaciones significativas de rendimiento entre varios algoritmos poscuánticos garantizando, en  
1173 la medida de lo posible, que los conjuntos de parámetros que se comparan proporcionen una seguridad  
1174 comparable.

1175 • Para permitir que NIST tome decisiones futuras prudentes sobre cuándo realizar la transición a claves más largas

1176 • Ayudar a los remitentes a tomar decisiones consistentes y sensatas con respecto a qué primitivas  
1177 simétricas usar en los mecanismos de relleno u otros componentes de sus esquemas que requieren  
1178 criptografía simétrica.

1179 • Comprender mejor las compensaciones entre seguridad y rendimiento involucradas en un enfoque de diseño determinado.

1180 De acuerdo con el segundo y tercer objetivo anteriores, el NIST basó su clasificación en la gama de  
1181 fortalezas de seguridad que ofrecen los estándares existentes del NIST en criptografía simétrica, que el NIST  
1182 espera que ofrezca una resistencia significativa al criptoanálisis cuántico. En particular, NIST definió una  
1183 categoría separada para cada uno de los siguientes requisitos de seguridad (enumerados en orden  
1184 creciente):

1185 1. Cualquier ataque que viole la definición de seguridad relevante debe requerir recursos computacionales  
1186 comparables o mayores que los necesarios para la búsqueda de claves en un cifrado de bloque con una clave de  
1187 128 bits (por ejemplo, AES-128).

1188 2. Cualquier ataque que viole la definición de seguridad relevante debe requerir recursos computacionales  
1189 comparables o mayores que los necesarios para la búsqueda de colisiones en una función hash de 256 bits (por  
1190 ejemplo, SHA-256/SHA3-256).

1191 3. Cualquier ataque que viole la definición de seguridad relevante debe requerir recursos computacionales  
1192 comparables o mayores que los necesarios para la búsqueda de claves en un cifrado de bloque con una clave de  
1193 192 bits (por ejemplo, AES-192).

1194 4. Cualquier ataque que viole la definición de seguridad relevante debe requerir recursos computacionales  
1195 comparables o mayores que los necesarios para la búsqueda de colisiones en una función hash de 384 bits (por  
1196 ejemplo, SHA-384/SHA3-384).

1197 5. Cualquier ataque que rompa la definición de seguridad relevante debe requerir recursos computacionales

1198 comparables o superiores a los necesarios para la búsqueda de claves en un cifrado de bloque con una clave de 256 bits  
 1199 (por ejemplo, AES-256).

Tabla 4. Categorías de fortaleza de seguridad del NIST

Categoría de seguridad	Tipo de ataque correspondiente	Ejemplo
1	Búsqueda de claves en cifrado de bloques con clave de 128 bits	AES-128
2	Búsqueda de colisiones en función hash de 256 bits	SHA3-256
3	Búsqueda de claves en cifrado de bloques con clave de 192 bits	AES-192
4	Búsqueda de colisiones en función hash de 384 bits	SHA3-384
5	Búsqueda de claves en cifrado de bloques con clave de 256 bits	AES-256

1200 Aquí, los recursos computacionales se pueden medir usando una variedad de métricas diferentes (por ejemplo, número  
 1201 de operaciones elementales clásicas, tamaño del circuito cuántico). Para que un criptosistema satisfaga uno de los  
 1202 requisitos de seguridad anteriores, cualquier ataque debe requerir recursos computacionales comparables o superiores  
 1203 al umbral establecido, con respecto a todas las métricas que el NIST considera potencialmente relevantes para la  
 1204 seguridad práctica.

1205 El NIST pretende considerar una variedad de métricas posibles, que reflejan diferentes predicciones sobre el  
 1206 desarrollo futuro de la tecnología informática clásica y cuántica, y el costo de diferentes recursos  
 1207 informáticos (como el costo de acceder a cantidades extremadamente grandes de memoria).<sup>2</sup>El NIST  
 1208 también considerará las aportaciones de la comunidad criptográfica con respecto a esta cuestión.

1209 En una métrica de ejemplo proporcionada a los remitentes, el NIST sugirió un enfoque en el que los ataques  
 1210 cuánticos se restringen a un tiempo de ejecución fijo o a una profundidad del circuito. Llame a este parámetro  
 1211 MAXDEPTH. Esta restricción está motivada por la dificultad de ejecutar cálculos en serie extremadamente largos.  
 1212 Los valores plausibles para MAXDEPTH oscilan entre 240puertas lógicas (el número aproximado de puertas que  
 1213 actualmente se espera que funcionen en serie las arquitecturas de computación cuántica en un año) hasta 264  
 1214 puertas lógicas (el número aproximado de puertas que las arquitecturas informáticas clásicas actuales pueden  
 1215 realizar en serie en una década), a no más de 296puertas lógicas (el número aproximado de puertas que los qubits  
 1216 de escala atómica con tiempos de propagación de la luz podrían realizar en un milenio). La versión más básica de  
 1217 esta métrica de costos ignora los costos asociados con los bits o qubits que se mueven físicamente para que estén  
 1218 físicamente lo suficientemente cerca como para realizar operaciones de puerta. Esta simplificación puede resultar  
 1219 en una subestimación del costo de implementar cálculos con uso intensivo de memoria en hardware real.  
 1220

1221 La complejidad de los ataques cuánticos puede medirse entonces en términos del tamaño del circuito. Estos números se  
 1222 pueden comparar con los recursos necesarios para romper AES y SHA-3. Durante el proceso de estandarización  
 1223 poscuántica, el NIST proporcionó las siguientes estimaciones para los recuentos de puertas clásicas y cuánticas<sup>3</sup>para la  
 1224 recuperación óptima de claves y ataques de colisión en AES y SHA-3, respectivamente, donde

<sup>2</sup>Vea la discusión en [19, Apéndice B].

<sup>3</sup>Los tamaños de los circuitos cuánticos se basan en el trabajo en [20].



1225 la profundidad del circuito está limitada a  $\text{MAXDEPTH}$ <sup>4</sup>.

Tabla 5. Estimaciones de recuentos de puertas clásicas y cuánticas para la recuperación óptima de claves y ataques de colisión en AES y SHA-3

AES-128	$2^{157}/\text{MAXDEPTH}$ puertas cuánticas o $2^{143}$ puertas clásicas
SHA3-256	$2^{146}$ puertas clásicas
AES-192	$2^{221}/\text{MAXDEPTH}$ puertas cuánticas o $2^{207}$ puertas clásicas
SHA3-384	$2^{210}$ puertas clásicas
AES-256	$2^{285}/\text{MAXDEPTH}$ puertas cuánticas o $2^{272}$ puertas clásicas
SHA3-512	$2^{274}$ puertas clásicas

1226 Vale la pena señalar que las categorías de seguridad basadas en estas primitivas de referencia proporcionan  
 1227 sustancialmente más seguridad cuántica de lo que podría sugerir un análisis ingenuo. Por ejemplo, las categorías  
 1228 1, 3 y 5 se definen en términos de cifrados en bloque, que pueden descifrarse utilizando el algoritmo de Grover [21  
 1229 ], con una aceleración cuántica cuadrática. Sin embargo, el algoritmo de Grover requiere un cálculo en serie de  
 1230 larga duración, lo cual es difícil de implementar en la práctica. En un ataque realista, hay que ejecutar muchas  
 1231 instancias más pequeñas del algoritmo en paralelo, lo que hace que la aceleración cuántica sea menos dramática.

1232 Finalmente, para los ataques que utilizan una combinación de computación clásica y cuántica, se puede utilizar una  
 1233 métrica de costos que califique las puertas cuánticas lógicas como varios órdenes de magnitud más caras que las  
 1234 puertas clásicas. Las arquitecturas de computación cuántica imaginadas actualmente suelen indicar que el costo  
 1235 por puerta cuántica podría ser miles de millones o billones de veces el costo por puerta clásica. Sin embargo,  
 1236 especialmente cuando se consideran algoritmos que afirman tener una alta seguridad (por ejemplo, equivalente a  
 1237 AES-256 o SHA-384), probablemente sea prudente considerar la posibilidad de que esta disparidad se reduzca  
 1238 significativamente o incluso se elimine.

<sup>4</sup>NIST cree que las estimaciones anteriores son precisas para la mayoría de los valores de  $\text{MAXDEPTH}$  que son relevantes para su análisis de seguridad, pero las estimaciones anteriores pueden subestimar la seguridad de SHA para valores muy pequeños de  $\text{MAXDEPTH}$  y pueden subestimar la seguridad cuántica de AES para valores muy grandes de  $\text{MAXDEPTH}$ .